

Licht - Materie - Wechselwirkung

Materie = Atome, Moleküle QM

Licht $\left\{ \begin{array}{l} \text{klassisch (falls starke Felder)} \\ \text{qm (falls statistische Eigenschaften, z.B. Korrelationen)} \end{array} \right.$

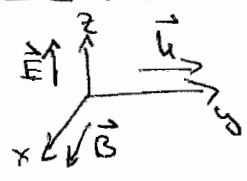
I) QM Atome, klassisches Licht : Schrödinger-Maxwell-Glg.
 ↓ vernachlässige Effekt der Materie auf Licht (z.B. Propagationseffekte)
 ↓ zeitabhängige QM mit klassischen elektromag. Feldern

II) QM Atome, QM Licht : (cavity) QED
 'Quantenoptik' → WW von Atomen mit quantisierten el.-mag. Feldern

1. Grundlagen

1.1 Beschreibung der WW : \hat{H} -Operator

betrachtet ebene el. magn. Welle



wähle Eichung, so dass

$$\varphi(\vec{r}, t) = 0 \quad \vec{A}(\vec{r}, t) = A_0 \cdot \vec{e}_z e^{i(ky - \omega t)} + A_0 \cdot \vec{e}_x e^{-i(ky - \omega t)}$$

$$\begin{aligned} \vec{E}(\vec{r}, t) &= -\frac{\partial}{\partial t} \vec{A}(\vec{r}, t) \\ &= i\omega A_0 \vec{e}_z e^{i(ky - \omega t)} - i\omega A_0 \vec{e}_x e^{-i(ky - \omega t)} \\ \vec{B} &= \text{rot } \vec{A} = ik A_0 \vec{e}_x e^{i(\dots)} - ik A_0 \vec{e}_z e^{-i(\dots)} \end{aligned}$$

wähle

$$\left. \begin{aligned} i\omega A_0 &= \frac{1}{2} E_0 \\ ik A_0 &= \frac{1}{2} B_0 \end{aligned} \right\} \frac{E_0/B_0}{\omega/k} = \frac{E}{k} = c$$

$$\Rightarrow \vec{E}(\vec{r}, t) = E_0 \vec{e}_z \cos(ky - \omega t)$$

$$\vec{B}(\vec{r}, t) = B_0 \vec{e}_x \cos(ky - \omega t)$$

andere Eichmöglichkeit:

$$\chi(\vec{r}, t) = z \frac{E_0}{\omega} \sin \omega t$$

$$\vec{A}' = \vec{A} + \vec{\nabla} \chi = \frac{E_0}{\omega} \vec{e}_z [\sin(ky - \omega t) + \sin \omega t]$$

$$\varphi' = \varphi - \frac{\partial \chi}{\partial t} = z E_0 \cos \omega t$$

ebene Welle wechselwirkt mit Valenz- e^- eines Atoms.

Atomkern & Bolt im Ursprung festgehalten (B_0), erzeugt Potential $V(r)$ auf e^-

$$\hat{H} = \frac{1}{2m} \left[\hat{\vec{p}} - q \vec{A}(\vec{r}, t) \right]^2 + V(r) - \frac{q}{m} \hat{\vec{S}} \cdot \vec{B}(\vec{r}, t)$$

$$= \frac{1}{2m} \left[\hat{\vec{p}}^2 - 2q \hat{p}_z \frac{E_0}{\omega} \sin(ky - \omega t) + q^2 \frac{E_0^2}{\omega^2} \sin^2(ky - \omega t) \right] + V(r) + \left(-\frac{q}{m} \hat{\vec{S}} \cdot \vec{B} \right)$$

Spin

• $\sin^2(ky - \omega t)$

(da $[\hat{p}_z, \hat{y}] = 0$)

$$\hat{H} = \hat{H}_0 - \underbrace{\frac{q}{m} \hat{\vec{p}} \cdot \vec{A}}_{W_1} - \underbrace{\frac{q}{m} \hat{\vec{S}} \cdot \vec{B}}_{W_2} + \frac{q^2}{2m} [\vec{A}(\vec{r}, t)]^2$$

typische Lichtquelle: $[\vec{A}(\vec{r}, t)]^2$
vernachlässigbar bzgl. $\vec{A}(\vec{r}, t)$

$$\hat{W}(t) = \hat{W}_1(t) + \hat{W}_2(t) \quad \text{Wechselwirkungsterm}$$

Abschätzung der Matrixelemente von $\hat{W}_{1,2}$ für gebundene Zustände des e^-

$$|\vec{S}| \sim \hbar$$

$$|\vec{B}| \sim \mu A_0$$

$$\frac{\omega_2}{\omega_1} = \frac{q_m \hbar k A_0}{q_m p A_0} = \frac{\hbar k}{p} \quad , \quad \frac{\hbar}{p} \leq a_0$$

$$= \frac{a_0}{\lambda} \ll 1$$

$$k = \frac{2\pi}{\lambda}$$

$\lambda \gg a_0$ (opt. Breid)

el. Dipolwechselwirkung ω_1 dominiert

elektrische Dipolnäherung

$$1) \quad \hat{W} \approx \hat{W}_1 \quad \hat{W}_1(t) = -\frac{q}{m} \hat{P}_z [A_0 e^{ik\hat{y}} e^{-i\omega t} + A_0 e^{-ik\hat{y}} e^{i\omega t}]$$

$$e^{\pm ik\hat{y}} = 1 \pm ik\hat{y} + \dots$$

$$k\hat{y} = \frac{a_0}{\lambda} \quad y \approx \text{atomare Ausdehnung}$$

$$2) \quad \hat{W}(t) \approx -\frac{q}{m} \hat{P}_z [A_0 e^{-i\omega t} + A_0 e^{i\omega t}]$$

$$= \boxed{\frac{q}{m} \frac{E_0}{\omega} \hat{P}_z \sin \omega t = \hat{W}_{DE}(t)}$$

Bewegung des Elektrons

(Ehrenfesttheorem: $\hat{F} \Rightarrow \langle \hat{F} \rangle$, etc)

$$\frac{d}{dt} \langle \hat{F}(t) \rangle = \frac{1}{i\hbar} \langle [\hat{F}, \hat{H}_0 + \hat{W}_{DE}(t)]_- \rangle$$

$$= \frac{\langle \hat{P} \rangle}{m} + \frac{q E_0}{m \omega} \hat{e}_z \sin(\omega t)$$

$$\frac{d}{dt} \langle \hat{P} \rangle = \frac{1}{i\hbar} \langle [\hat{P}, \hat{H}_0 + \hat{W}_{DE}(t)]_- \rangle = -\langle \vec{\nabla} V(r) \rangle$$

$$\frac{d}{dt} \left[\frac{d}{dt} \langle \hat{p}(t) \rangle \right] = \frac{d}{dt} \frac{\langle \hat{p} \rangle}{\hbar} + \frac{q E_0}{m} \vec{e}_z \cos \omega t$$

$$m \frac{d^2}{dt^2} \langle \hat{r}(t) \rangle = - \langle \vec{\nabla} V(r) \rangle + q E_0 \vec{e}_z \cos \omega t$$

Schwerpunkt des Wellenpakets des Elektrons bewegt sich wie ein Teilchen der Masse m und Ladung q im Potential $V(r)$ und im elektrischen Feld.

D.h. die elektronische Wfkt. ist so stark lokalisiert, dass sie die räuml. Variation von $\vec{E}(\vec{r}, t)$ nicht spürt

$$\vec{E}(\vec{r}, t) \rightarrow \vec{E}(t)$$

andere Eichtransformation

$$\vec{A}' = \frac{E_0}{\omega} \vec{e}_z [\sin(ky - \omega t) + \sin \omega t]$$

$$\varphi' = -z E_0 \cos \omega t$$

$$\rightarrow \vec{A}' = 0 \quad ky \gg 0$$

$$\hat{H}' = \frac{1}{2m} (\vec{p} - q \vec{A})^2 + V(r) + q \varphi'(\vec{r}, t)$$

$$= \hat{H}_0 + \hat{W}'(t)$$

$$W'(t) = q \varphi' = -q z E_0 \cos \omega t = \hat{W}'_{DE}(t)$$

$$\boxed{\text{allg. } \hat{W}'_{DE}(t) = -\vec{D} \cdot \vec{E}}$$

$$\vec{D} = q \vec{r} \quad \text{elekt. Dipolmoment des } e^-$$

daraus folgend: Auswahlregeln

$$l_f = l_i \pm 1 \quad m_f = l_i$$

29.10.08

5

magn. Dipol- und elektrische Quadrupolübergänge

$$\hat{W}(t) = \hat{W}_1(t) + W_2(t)$$

$$= \hat{W}_{DE}(t) + (\hat{W}_1(t) - \hat{W}_{DE}(t)) + W_2(t) \quad (*)$$

$$\frac{\hat{W}_1(t) - \hat{W}_{DE}(t)}{W_{DE}(t)} = \frac{a_0}{\lambda} = \frac{\hat{W}_2(t)}{\hat{W}_{DE}(t)}$$

zur Erinnerung:

$$\hat{W}_1(t) = -\frac{q}{m} \hat{P}_2 \left[A_0 e^{ik\hat{y}} e^{-i\omega t} + A_0^* e^{-ik\hat{y}} e^{i\omega t} \right]$$

$$\bullet \quad W_1 - W_{DE} : e^{ik\hat{y}} \rightarrow e^{ik\hat{y}} - 1 = \pm ik\hat{y} \quad (\text{Taylor})$$

$$\Rightarrow W_1 - W_{DE} = -\frac{q}{m} \left[ik A_0 e^{-i\omega t} - ik A_0^* e^{i\omega t} \right] \hat{P}_2 \hat{y}$$

$$= -\frac{q}{m} B_0 \cos \omega t \hat{P}_2 \hat{y} + \dots$$

$$\hat{P}_2 \hat{y} = \frac{1}{2} (\hat{P}_2 \hat{y} - \hat{P}_{2y}) + \frac{1}{2} (\hat{P}_2 \hat{y} + \hat{z} \hat{P}_y)$$

$$= \frac{1}{2} \hat{L}_x + \frac{1}{2} (\hat{P}_2 \hat{y} + \hat{z} \hat{P}_y)$$

$$\Rightarrow W_1 - W_{DE} = -\frac{q}{2m} \hat{L}_x B_0 \cos \omega t - \frac{q}{2m} B_0 \cos \omega t$$

$$\cdot (\hat{P}_2 \hat{y} + \hat{z} \hat{P}_y) + \dots$$

$$\bullet \quad W_2(t) = -\frac{q}{m} \hat{S} \cdot \vec{B}(\vec{r}, t) ; \vec{B} = \vec{\nabla} \times \vec{A} = ik A_0 \hat{e}_x e^{i(ky - \omega t)}$$

$$= -\frac{q}{m} \hat{S}_x B_0 \cos \omega t$$

Einsetzen in (*)

$$\hat{W}(t) = \frac{q}{m} \frac{E_0}{\omega} \hat{P}_2 \sin \omega t - \frac{q}{2m} \hat{L}_x B_0 \cos \omega t - \frac{q}{2m} [\hat{P}_2 \hat{y} + \hat{z} \hat{P}_y]$$

$$- \frac{q}{m} \hat{S}_x \cdot B_0 \cos \omega t$$

$$= \hat{W}_{DE}(t) + W_{DH}(t) + W_{QE}(t) + \dots$$

$$\omega_{DM}(t) = -\frac{q}{2m} [\hat{L}_x + 2\hat{S}_x] B_0 \cos \omega t \quad \text{mag. Dipol}$$

$$\omega_{QE}(t) = -\frac{q}{2mc} E_0 \cos \omega t [\hat{p}_z \hat{y} + \hat{z} \hat{p}_y] \quad \text{el. Quadr.}$$

im Folgenden: $\hat{\omega}(t) \approx \hat{\omega}_{DE}(t)$

nur Dipolwechselwirkung $\hat{\omega}_{DE} = \hat{\vec{D}} \cdot \vec{E}$

$$\vec{D} = q \sum_{i=1}^N \vec{r}_i \quad \text{Atome}$$

$$\vec{D} = q \left(\sum_{i=1}^N \vec{r}_i + \sum_{A=1}^M Z_A \vec{R}_A \right) \quad \text{Moleküle}$$

Konvention: \vec{D} wird oft als $\hat{\mu}$ geschrieben

1.2 Darstellung des Hamilton-Operators

(atomare Einheiten)

bisher: 1 Valenzelektron

im Allg.: N Elektronen

M Kerne

$\vec{p}_i \cdot \vec{r}_i$

$\vec{p}_A \cdot \vec{R}_A$

$$\hat{H} \approx \frac{1}{2} \sum_{i=1}^N \vec{p}_i^2 + \frac{1}{2} \sum_{i,j}^N \frac{1}{|\vec{r}_i - \vec{r}_j|} - \sum_{i=1}^N \sum_{A=1}^M \frac{Z_A}{|\vec{r}_i - \vec{R}_A|} + \sum_{A=1}^M \frac{1}{2m_A} \vec{p}_A^2 + \frac{1}{2} \sum_{A,B=1}^M \frac{Z_A Z_B}{|\vec{R}_A - \vec{R}_B|} - \hat{\vec{D}} \cdot \vec{E}(t)$$

Darstellungen

1) Energie-Darstellung: $H |\varphi_i\rangle = E_i |\varphi_i\rangle$ mit $\vec{E} = 0$

$$D_{ij} = \langle \varphi_i | \hat{D} | \varphi_j \rangle \text{ muss bestimmt werden}$$

2) Orts-Darstellung : $\hat{R} = \vec{R}$ $\hat{P} = i \vec{\nabla}_R$
 $\langle R | \psi \rangle = \psi(R)$

3) Impuls-Darstellung : analog $\langle P | \psi \rangle = \tilde{\psi}(P)$

Born-Oppenheimer-Näherung

$m_A \gg m_e \rightarrow$ Kerne bewegen sich viel langsamer als die Elektronen.

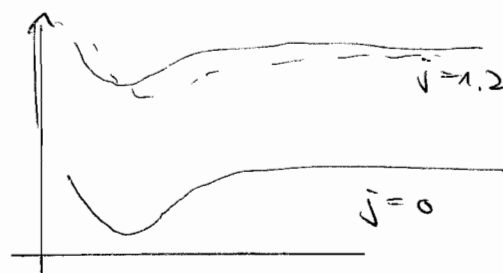
$$\psi(\{\vec{r}_i\}, \{\vec{R}_A\}) = \phi(\{\vec{r}_i\}; \{\vec{R}_A\}) \chi(\{\vec{R}_A\})$$

\rightarrow elektronische SG

$$\hat{H}_e \phi_j(\{\vec{r}_i\}; \{\vec{R}_A\}) = E_j(\{\vec{R}_A\}) \phi_j(\{\vec{r}_i\}; \{\vec{R}_A\})$$

Lösung: Hartree-Fock, DFT, Quantenchemie

$\rightarrow E_j(\{\vec{R}_A\})$ Potentialflächen



Näherung: harmonisch, Morse-Potential

Moleküle: Einsetzen der elektron. Lösungen in \hat{H}

$\Phi_j(\{\vec{r}_i\}, \{\vec{R}_A\})$ sind vollst. Ortho-Normalsystem

$$\psi(\{\vec{r}_i\}, \{\vec{R}_A\}) = \sum_j c_j \phi_j \chi^j$$

Ausintegrieren der elektr. Freiheitsgrade

Vernachlässigen der nicht-adiabatischen Kopplungen

⇒ Kern-Schrödinger-Gleichung

$$\hat{H}_j \chi_{\nu l}^j(\{\vec{R}_A\}) = \left[\frac{1}{2} \sum_A \left(\frac{\vec{P}_A^2}{m_A} + E_j^{\nu l}(\{\vec{R}_A\}) \right) \right] \chi_{\nu l}^j(\{\vec{R}_A\})$$

Bewegung der Kerne im BO-Potential

enthält Translation, Vibration, Rotation

Was passiert unter BO mit LW-Matrixelemente?

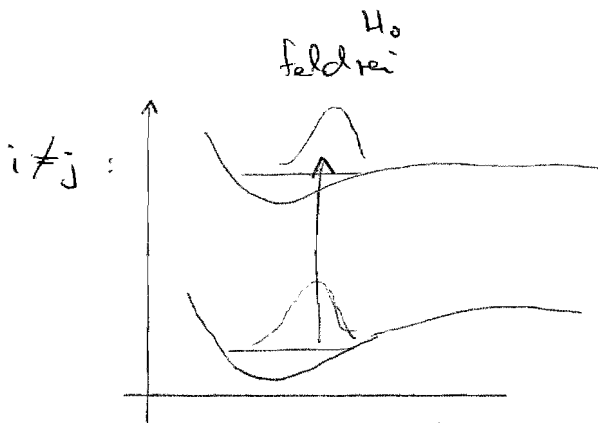
$$\hat{L} = -\hat{\vec{D}} \cdot \vec{E}(t)$$

$$\vec{D} = \sum_{k=1}^N \vec{r}_k + \sum_{A=1}^M Z_A \vec{R}_A$$

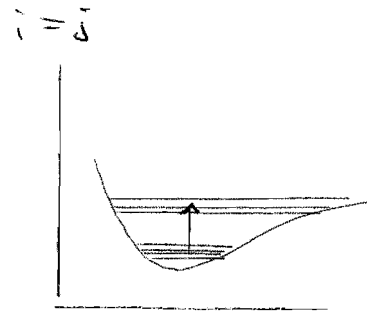
in elektronischer Basis

$$\langle \phi_i | \vec{D} | \phi_j \rangle = \vec{D}_{ij}(\{\vec{R}_A\})$$

$$\hat{H}_{\text{Kern}} = \underbrace{\sum_A \frac{\vec{P}_A^2}{2m_A} + V_j(R_A)}_{H_0 \text{ feldfrei}} + \sum_A \vec{D}_{ij}(R_A) \cdot \vec{E}(t)$$



$$\Psi(R, t) = \begin{pmatrix} \psi_i(R, t) \\ \psi_j(R, t) \end{pmatrix}$$



$$\Psi(R, t)$$

Darstellung von \hat{H}_{Kern} ?

$$\hat{H}_{\text{Kern}} = \hat{H}_0 + \vec{D} \cdot \vec{E}(t)$$

$$H_0 |\psi\rangle = E |\psi\rangle \quad \text{ungekoppeltes System}$$

(i) analytisch
falls $V_j(R)$ harmon. oder Morse-Oszillator
 $\rightarrow D_{ij}$ kompliziert

(ii) numerisch (im Ortsraum)

1.3 Numerische Darstellung des Hamilton-Operators im Fourier-Gitter

Wir beschränken uns auf R (d.h. Zentralpotential
und ψ, φ ausintegrieren)

Entwicklung von $\psi(R)$ in endlich viele Basisfunktionen

d.h. Nähern von $\psi(R)$ durch Werte der Basisfkt. an
Stützstelle

$$\psi(R_j) = \sum a_n g_n(R_j)$$

\uparrow
Basisfunktionen

Schreibe

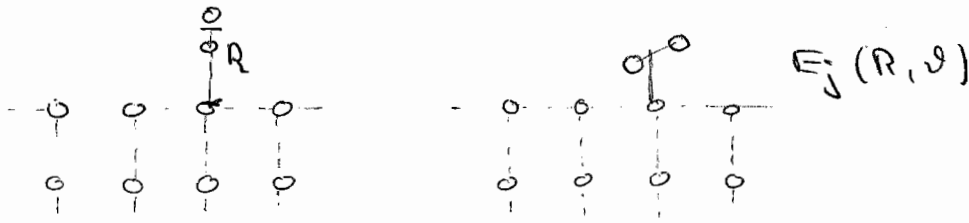
$$\vec{\psi} = \vec{g} \vec{a} \quad , \quad g_{nj} = g_n(R_j)$$

$$\rightarrow \vec{a} = \vec{g}^{-1} \vec{\psi}$$

Ⓐ wie wähle ich geschickt die Basisfunktionen?

Ⓑ wahl der Stützstelle?

Oberflächen (Näherung)



Wahl der ~~Stützstelle~~ Basis fkt. (1)

Orthogonalität $\sum_{n=0}^N g_n(R_i) g_n^*(R_j) = \delta_{ij}$

$$\rightarrow a_n = \sum_{i=0}^N \psi(R_i) g_n(R_i)$$

$$\text{SDR } g_n(R) g_m^*(R) = \delta_{nm} = \langle g_m | g_n \rangle$$

$$\langle \psi | \phi \rangle = \sum_n a_n^* b_n$$

$$\rightarrow \vec{\psi} = \vec{g} \vec{a}, \quad \vec{g} \text{ unitär}$$

Wähle ebene Wellen: $g_n(R) = \exp\left[\frac{2\pi i n R}{L}\right]$
 $n = -\left(\frac{N}{2}-1\right) \dots 0 \dots \frac{N}{2}$

Stützstellen (Gitter)

$$R_j = R_{\min} + (j-1) \Delta R \quad ; \quad j = 1 \dots N$$

$$R_j \text{ sind gleichmäßig verteilt} \quad \Delta R = \frac{L}{N}$$

Z.z.: diese Wahl stellt eine vollständige ONB dar

$$\begin{aligned} (*) \quad \sum_{k=-\frac{N}{2}+1}^{\frac{N}{2}} g_k(R_m) g_k^*(R_n) &= \sum_{k=-\frac{N}{2}+1}^{\frac{N}{2}} \exp\left[\frac{2\pi i k}{L} (R_m - R_n)\right] \\ &= \sum \exp\left[\frac{2\pi i k}{N \Delta R} (-(n-1) + (m-1))\right] \\ &\stackrel{(NA)}{=} \delta_{nm} \cdot N \end{aligned}$$

↙ Nebenrechnung: Partialsummen der geom. Reihe

$$\sum_{k=0}^N g^k = \begin{cases} N+1 & g=1 \\ \frac{1-g^{N+1}}{1-g} & g \neq 1 \end{cases}$$

Für $n=m$: $\sum_{k=-\frac{N}{2}+1}^{\frac{N}{2}} \dots = N$

$n \neq m \rightarrow 1 \leq n-m \leq N-1 \rightarrow n-m \neq l \cdot N \quad l \in \mathbb{Z}$

$\rightarrow 1-g = 1 - \exp\left[\frac{2\pi i(n-m)}{N}\right] \neq 0$

$g^{N+1} = \exp[2\pi i(n-m)] = 1$
 $\rightarrow \sum_{k=-\frac{N}{2}+1}^{\frac{N}{2}} \dots = 0$

analog: $\sum_{j=1}^N g_k(R_j) g_k^*(R_j) = \delta_{nk} \cdot N$

Kontinuum - Äquivalent zu (*):

$$\frac{1}{2\pi} \int_{-\pi}^{+\pi} \exp[i(m-n)R'] dR'$$

$$= \frac{1}{2\pi} \left[\frac{\hat{}}{i(m-n)} \exp[i(m-n)R'] \right]_{-\pi}^{+\pi} = \delta_{mn}$$

$$R' = \pi \left(\frac{R}{L} - 1 \right) \quad 0 \leq R \leq L$$

\rightarrow periodische Randbedingungen

$$\psi(R_j) = \sum_{k=0}^{N-1} a_k \exp\left[\frac{2\pi i k R_j}{L}\right]$$

an den Gitterpunkten exakt

$$\psi(R) \approx \sum a_n \exp[\dots R]$$

zwischen den Gitterpunkten genähert

Entwicklung in einer Welle = Impulsraumdarstellung

$$a_n = \tilde{\Psi}(P) = \frac{1}{N} \sum_{j=1}^N \Psi(R_j) \exp\left[-\frac{2\pi i n R_j}{L}\right]$$

Es wird also gleichzeitig ein Gitter im Impulsraum definiert: $\Delta p = \frac{2\pi}{L}$

Die Fourier-Gitter-Methode liefert eine besonders günstige numerische Darstellung des \hat{H} -Operators, denn:

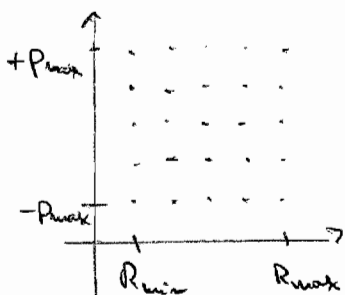
- FFT liefert einen schnellen Wechsel zw. $\Psi(R)$ und $\tilde{\Psi}(k)$
- die kinetische Energie ist im Impulsraum diagonal (Vektor-Vektor statt Matrix-Matrix-Multiplikation)
- N kann so gewählt werden, dass die Darstellung numerisch exakt ist ($\epsilon < 10^{-16}$ bei double precision)

Berechnung für $\psi(R) = [\hat{T} + \hat{V}(R)] \Psi(R)$

- FFT
- im Impulsraum $\sum_k \frac{\hbar^2 k^2}{2m} \Psi(k)$
- FFT⁻¹ $\Rightarrow \psi'(R) = \hat{T} \Psi(R)$
- dazu addiere: $\sum_j V(R_j) \Psi(R_j)$ im Ortsraum

Wahl der Stützstelle (B)

Woch verbleibende Frage: $N = ?$



$$\Delta p = \frac{2\pi}{L}$$

$$P_{max} = \frac{\pi}{\Delta R}$$

Volumen $V = 2 P_{max} \cdot L = \frac{2\pi}{\Delta R} L$

$$= \frac{2\pi}{L} L N = 2\pi N \quad (-t); \quad (\text{aber: } t = \frac{1}{\text{geschw.}})$$

$$= N \cdot h$$

Unschärferelation \rightarrow jedes Phasenraumvolumen h soll ein Gitterpunkt entsprechen

eigentliches Problem $\hat{H}_0 |\psi\rangle = E |\psi\rangle$

Wie kann dieses EUP jetzt gelöst werden?

- 1) "Brute Force": Entwickeln von H_0 in Fourier-Basis auf Gitter $\rightarrow N \times N$ -Matrix \rightarrow diagonalisieren
numerisch aufwändig (N^3), aber alle EW und EF auf einmal

- 2) Lösen der zeitabhängigen SG in imaginär. Zeit $\tau = it$

$$: \frac{\partial}{\partial \tau} \psi(R, \tau) = \hat{H} \psi(R, \tau)$$

$$\psi(R, \tau + \Delta\tau) = e^{-\hat{H} \Delta\tau} \psi(R, \tau) \quad (\text{formale Lsg.})$$

$$\text{in imag. Zeit: } \psi(R, \tau + \Delta\tau) = e^{-\hat{H}_0 \Delta\tau} \psi(R, \tau)$$

$$\begin{aligned}\Psi(R, \Delta\tau) &= e^{-\frac{i}{\hbar} H \Delta\tau} \Psi(R, 0) \\ &= \sum_n c_n e^{-E_n \Delta\tau} \psi_n(R) \\ c_n &= \langle \psi_n | \Psi(0) \rangle\end{aligned}$$

$$\tau \rightarrow \infty \Rightarrow \Psi(R, \Delta\tau) \rightarrow \psi_0(R)$$

(muss noch renormiert werden)

1.4 Propagation der zeitabhängige SG

$$i \frac{\partial}{\partial t} \Psi(R, t) = \hat{H} \Psi(R, t)$$

falls Ψ und \hat{H} auf dem Ferris-Gitter dargestellt wird, ist nur noch ein Anfangswertproblem zu lösen (Vereinfachung der part. Dgl. zu einer gewöhnlichen Dgl)

(i) Runge-Kutta-Verfahren

$$i \frac{\partial}{\partial t} \Psi(R, t) = f[\Psi(R, t)]$$

(ii) Näherung der formalen Lösung

$$\Psi(R, t) = \hat{U}(t, 0) \Psi(R, 0) \quad (\square)$$

\hat{U}
zeitentwicklungsoP.

falls $\hat{H}(t) = \hat{H}$:

$$i \frac{\partial}{\partial t} \hat{U}(t, 0) \Psi(R, 0) = \hat{H} \hat{U} \Psi(R, 0)$$

$$[\hat{H}\hat{U} - i\frac{\partial}{\partial t}] \psi(R,t) = 0$$

"Bewegungs"-Glg für \hat{U} : $i\frac{\partial}{\partial t} \hat{U} = \hat{H}\hat{U}$

$$\text{Randbedingung: } \hat{U}(0,0) = 1$$

$$\rightarrow \hat{U}(t,0) = \exp[-i\hat{H}t] \quad \text{formale Lsg}$$

in (□) :

$$\psi(R,t) = e^{-i\hat{H}t} \psi(R,0)$$

Zwei Strategien, mit diesem Ausdruck umzugehen

a) Baker-Campbell-Hausdorff-Formel

$$e^{\hat{A}+\hat{B}} = e^{\hat{A}} \cdot e^{\hat{B}} \cdot e^{-\frac{1}{2}[\hat{A},\hat{B}]}$$

\Rightarrow "Split-Propagator"

b) Reihenentwicklung

$$e^{-i\hat{H}t} = \sum_{n=0}^{\infty} a_n P_n(\hat{A})$$

Newton-Polynome

Chebyshev-Polynome

5.11.08

Split-Propagator

$$\hat{A} = -i\hat{T}\Delta t \quad \hat{B} = -i\hat{V}\Delta t$$

$$e^{-i\hat{H}\Delta t} = e^{-i(\hat{T}+\hat{V})\Delta t}$$

$$= e^{-i\hat{T}\Delta t} e^{-i\hat{V}\Delta t} + o[-i[\hat{T},\hat{V}]\Delta t^2]$$

$$= e^{-\frac{i}{2}\hat{T}\Delta t} e^{-\frac{i}{2}\hat{V}\Delta t} e^{-\frac{i}{2}\hat{V}e^{-\frac{i}{2}\hat{T}\Delta t}}$$

$$+ o(-i[\hat{T},\hat{V}]\Delta t^2 - i[\hat{V},\hat{T}]\Delta t^2 - i[\hat{T},[\hat{T},\hat{V}]]\Delta t^3 - i[\hat{V},[\hat{V},\hat{T}]]\Delta t^3)$$

$$= e^{-\frac{1}{2}\hat{V}\Delta t} e^{-i\hat{T}\Delta t} e^{-\frac{1}{2}\hat{V}\Delta t} + o(\Delta t^3)$$

Bemerkungen:

- Split-Propagator = Kurzzeitpropagator $o(\Delta t^3)$
- numerisch effizient. (2 FFT pro Zeit \Rightarrow Schritt)
- $\exp[-\frac{i}{2}\hat{V}\Delta t] \exp[-i\hat{T}\Delta t] \exp[-\frac{i}{2}\hat{V}\Delta t]$ ist unitär $\Rightarrow |\langle \psi | \psi \rangle|^2 = 1$ Norm unter Propagation erhalten

\Rightarrow Näherungsfehler akkumulieren in Phase u.

Energie von $\psi(R, t)$

Chebyshev - Propagator

$$e^{-i\hat{H}t} = f(\hat{H})$$

Wir betrachten den Zeitentwicklungoperator als Fkt. von \hat{H} u. nähern diese Fkt. durch eine Entwicklung in orthogonale Polynome. Für beliebige Fkt. ist die schnellst konvergierende Entwicklung die in Chebyshev-Polynome

$$e^{-i\hat{H}t} \approx \sum_n^N a_n P_n(-i\hat{H}t)$$

$\phi_n(x)$ komplexe Chebyshev-Polynome, $[-1, 1]$

$T_n(x)$ reelle $[-1, 1]$

$$\phi(x) = T(-ix) \quad T_n(x) = \cos(n - \arccos(x))$$

$\{T_n\}$ v. ONS mit Skalarprodukt $\int_{-1}^{+1} \frac{T_m T_n}{\sqrt{1-x^2}} dx$

$$\int_{-1}^{+1} \frac{T_m T_n}{\sqrt{1-x^2}} dx = \begin{cases} 0 & m \neq n \\ \frac{\pi}{2} & m = n \neq 0 \\ \pi & m = n = 0 \end{cases}$$

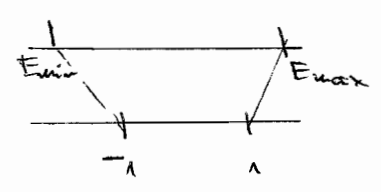
Was ist der Def. - Bereich von $f(\hat{H})$?

$$\Delta E = E_{\max} - E_{\min}$$

$$T_{\min} = 0 \quad T_{\max} = \frac{1}{2m v_{\max}^2} = \frac{\hbar}{2m \Delta R^2}$$

V_{\min}, V_{\max} direkt im Problem gegeben

→ Normierung des Hamilton - operators auf $[-1, 1]$ - Bereich



$$\hat{H}' = \frac{2}{\Delta E} (\hat{H} - (\frac{\Delta E}{2} + V_{\min}) \mathbb{1})$$

$$\hat{H} = \frac{\Delta E}{2} \hat{H}' + (\frac{\Delta E}{2} + V_{\min}) \mathbb{1}$$

$$e^{-i\hat{H}t} = e^{-i(\frac{\Delta E}{2} + V_{\min})t} \sum a_n (\frac{\Delta E}{2}t) \phi_n(-i\hat{H}')$$

$$|f\rangle = \sum a_n |\phi_n\rangle$$

$$\rightarrow a_n = \langle f | \phi_n \rangle$$

$$a_n(\alpha) = \frac{2 - \delta_{n0}}{\pi} \int_{-1}^1 \frac{e^{i\alpha z} \phi_n(z)}{\sqrt{1-z^2}} dz \quad ; \quad \alpha = \frac{\Delta E}{2} t$$

Berechnung von $\phi_n(-i\hat{H}')$ über Rekursion:

$$\phi_{n+1}(z) = -2z\phi_n(z) + \phi_{n-1}(z)$$

$$\phi_1(z) = z \quad \phi_0(z) = 1$$

Dies entspricht einer wiederholten Anwendung von \hat{H}

$$\Psi(R,t) \approx \exp[-i(\frac{\Delta E}{2} + V_{\min})t] \sum_{n=0}^N a_n(\alpha) \phi_n(-i\hat{H}') | \Psi(R,0) \rangle$$

Algorithmus:

- Berechnung der a_n

$$a_n = 2 J_n(\alpha)$$

J_n : Bessel-Fkt.

$$a_0 = J_0(\alpha)$$

da $\alpha \equiv \frac{\Delta E}{2} t$ nur zu Beginn der Propagation mit Zeitschritt t nötig

- Berechnung der Phase $\exp[-i(\frac{\Delta E}{2} + V_{\text{mean}}) t]$
(Normierung)

- rekursive Anwendung von \hat{A} und Akkumulation der neuen Wkt. $\Psi(R, t)$

Konvergenz der Reihenentwicklung

Wieviele N benötige ich?

$$\alpha \text{ fest, } n \rightarrow \infty : J_n \sim \frac{1}{\sqrt{2\pi n}} \left(\frac{e\alpha}{2n}\right)^n$$

d.h. wenn $n > \alpha$, dann verschwindet $J_n(\alpha)$ exponentiell

\rightarrow wir können N so wählen, dass

$$a_N = 2 J_N(\alpha) < \epsilon$$

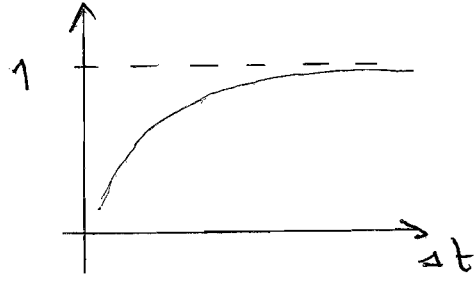
\rightarrow die Anzahl der benötigten Terme in der Reihenentwicklung ist durch $\frac{1}{2} \Delta E t$ bestimmt

$\frac{1}{2} \Delta E t \hat{=} \text{Volumen im Energie-Zeit-„Phasenraum“}$

Bemerkungen: Der Chebyshev - Propagator

- ist ein Längzeitoperator

$$\text{Effizienz } \eta = \frac{\frac{1}{2} \Delta E \Delta t}{N}$$



mer für sehr kleine Δt
ist die Effizienz verschieden
von 1

↔ "beliebig" große Zeitschritte möglich

- erfordert N Anwendungen des Hamiltonoperators pro Zeitschritt (also $2N$ FFT-Durchläufe)

- ist nicht unitär:

$$1 - |\langle \psi(t) | \psi(t) \rangle| = |\epsilon| \quad \text{Konvergenztest}$$

- Der Fehler ϵ ist gleichmäßig über den Spektralbereich verteilt und kann auf die Größe der Maschinengenauigkeit reduziert werden ("numerisch exakt")

- stellt eine Spektralentwicklung des Zeitentwicklungsoperators dar.

Die Ch.-Propagator kann auch zur Näherung anderer Funktionen als $f(\hat{H}) = e^{-i\hat{H}t}$ benutzt werden

Bsp: (1) $f(\hat{H}) = e^{-\hat{H}\Delta t}$

Die a_n können durch analytische Fortsetzung bestimmt werden:

$$a_n = 2 I_n(x) e^{(\frac{1}{2} \Delta E + E_{\min}) \Delta t} \quad ; \quad I_n: \text{ mod. Bessel.}$$

$$I_n \sim e^{-n} \quad \text{für } n > \sqrt{\frac{1}{2} \Delta E \Delta t^2}$$

d.h. noch bessere Konvergenz

Bsp. (2):

$$f(\hat{H}) = \frac{i}{2\pi} \frac{1}{E - \hat{H}} = \hat{G}(E) \quad \text{Greensche Fkt.}$$

$$a_n = \frac{4T_n(x)}{\pi \sqrt{1-x^2}}, \quad a_0 = \frac{2}{\pi} \frac{1}{\sqrt{1-x^2}}$$

Bsp. (3):

beliebige Funktionen $f(\hat{H})$:

die Entwicklungskoeff. können numerisch bestimmt werden.

$$a_n(x) = \frac{2 - \delta_{n0}}{\pi} \int_{-1}^1 \frac{f(x) T_n(x)}{\sqrt{1-x^2}} dx, \quad T_n(x) = \cos(nx)$$

dies entspricht einer Kosinustransformation
(\rightarrow FFT)

Diese Propagator gilt zunächst nur für

$$\hat{H}(t) = \hat{H}$$

Dies ist im Fall von OCT nicht gegeben (st darf nicht bel. groß sein)

$$\hat{H} = \hat{T} + \hat{V} + W(t)$$

$$i \frac{\partial}{\partial t} \psi = H(t)$$

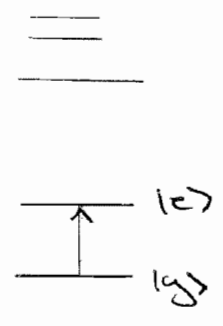
$$\hat{H}' = \hat{H} - i \frac{\partial}{\partial t}$$

$$i \frac{\partial}{\partial t'} \psi = H'(t')$$

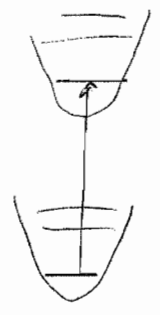
$$\psi(R, t) = S(t) S(t-t') \psi(R, t, t')$$

kann formal genauso mit Clebscher für \hat{H}' propagiert werden. dies ist aber eben aufwändiger
Praktisch: t unbedingt klein wählen

2. Wechselwirkung im zwei-Niveau-System mit Licht



$\omega_{ge} \approx \omega_L$
 $(\omega_L - \omega_{ij}) \gg 0$



2.1 Rotating Wave Approximation

$\hat{H}_0 = \begin{pmatrix} \omega_a & 0 \\ 0 & \omega_b \end{pmatrix}$



$\omega_0 = \omega_b - \omega_a$

$|\psi(t)\rangle = a(t) \cdot e^{-i\omega_a t} |a\rangle + b(t) e^{-i\omega_b t} |b\rangle$

$|a(t)|^2 + |b(t)|^2 = 1$

$\hat{H}(t) = H_0 + \hat{W}(t)$

$\hat{W} = \begin{pmatrix} 0 & -\hat{\mu} E_0 \cos \omega_L t \\ -\hat{\mu} E_0 \cos \omega_L t & 0 \end{pmatrix}$

Wechselwirkung - Darstellung

$\hat{H}_I(t) = e^{-i\hat{H}_0 t} \hat{W} e^{i\hat{H}_0 t}$

$i\frac{\partial}{\partial t} |\psi_I(t)\rangle = \hat{H}_I |\psi_I(t)\rangle$

$|\psi_I(t)\rangle = e^{-i\hat{H}_0 t} |\psi(t)\rangle$

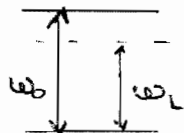
$\hat{H}_I = e^{i\hat{H}_0 t} \sum_{\substack{i=a,b \\ j=a,b}} |i\rangle \langle i| \hat{W} |j\rangle \langle j|$

$= |a\rangle \langle b| e^{i(\omega_a - \omega_b)t} W_{ab} + |b\rangle \langle a| e^{-i(\omega_a - \omega_b)t} W_{ba}$

$$W_{ab} = -\frac{1}{2} \mu E_0 (e^{i\omega_L t} + e^{-i\omega_L t})$$

$$H_I = \begin{pmatrix} 0 & -\frac{1}{2} \mu E_0 [e^{-i(\omega_L - \omega_0)t} + e^{i(\omega_L + \omega_0)t}] \\ -\frac{1}{2} \mu E_0 [e^{i(\omega_L - \omega_0)t} + e^{-i(\omega_L + \omega_0)t}] & 0 \end{pmatrix}$$

Verstimmung (Detuning) $\Delta_L = \omega_0 - \omega_L$



falls $\omega_L \approx \omega_0$ (nahe-resonante Anregung)

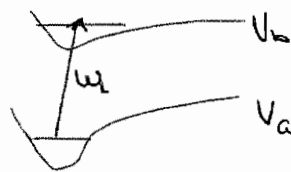
$$|\Delta_L| = |\omega_L - \omega_0| \ll 1 \quad e^{\pm i\Delta_L t} \quad \text{oszilliert langsam}$$

$$\omega_L + \omega_0 \approx 2\omega_L \quad e^{\pm i2\omega_L t} \quad \text{oszilliert schnell}$$

\rightarrow mittelt sich zu 0
bei Zeitintegration

$$\hat{H}_{RWA} = \begin{pmatrix} 0 & -\frac{1}{2} \mu E_0 e^{-i\Delta_L t} \\ -\frac{1}{2} \mu E_0 e^{i\Delta_L t} & 0 \end{pmatrix}$$

$$\hat{H}_0 = \begin{pmatrix} \hat{T} + \hat{V}_a & 0 \\ 0 & \hat{T} + \hat{V}_b \end{pmatrix}$$



$$\hat{W} = \begin{pmatrix} 0 & \mu E \\ \mu E^* & 0 \end{pmatrix}$$

im atomaren

$$\hat{H}_0 = \begin{pmatrix} 0 & 0 \\ 0 & \omega_0 \end{pmatrix} + 1 \omega_a$$

$$\hat{H}_0 = 2\omega_0 \hat{\sigma}_z + (\omega_a - \frac{1}{2}\omega_0) \mathbb{1} \quad \hat{\sigma}_z = \begin{pmatrix} -1 & 0 \\ 0 & 1 \end{pmatrix}$$

Rotations-Op $\hat{R}(\vartheta) := e^{i\vartheta \hat{S}_z}$ $\hat{S}_z = \frac{1}{2} \sigma_z$

$[\hat{S}_\pm, \hat{R}(\vartheta)] = (1 - e^{\pm i\vartheta}) \hat{S}_\pm \hat{R}(\vartheta)$

Transformation der Schrödinger-Gleichung

$|\tilde{\psi}\rangle = R |\psi\rangle$

$i \frac{\partial}{\partial t} |\tilde{\psi}\rangle = i \frac{\partial \hat{R}}{\partial t} |\psi\rangle + i \hat{R} \frac{\partial}{\partial t} |\psi\rangle$
 $= - \frac{\partial \vartheta}{\partial t} \hat{S}_z \hat{R} |\psi\rangle + \hat{R} \hat{H} |\psi\rangle$
 $= \hat{H} \hat{R} - [\hat{H}, \hat{R}]$

$[\hat{H}, \hat{R}] = E_\mu^* [\hat{S}_+, \hat{R}] + E_\mu [\hat{S}_-, \hat{R}]$

$= - \frac{\partial \vartheta}{\partial t} \hat{S}_z R |\psi\rangle + \hat{H} \hat{R} |\psi\rangle$
 $- E_\mu^* (1 - e^{i\vartheta}) \hat{S}_+ \hat{R} |\psi\rangle$
 $- E_\mu (1 - e^{-i\vartheta}) \hat{S}_- \hat{R} |\psi\rangle$

$= \frac{\partial \vartheta}{\partial t} \hat{S}_z |\tilde{\psi}\rangle + \hat{H} |\tilde{\psi}\rangle$
 $- E_\mu^* (1 - e^{i\vartheta}) \hat{S}_+ |\tilde{\psi}\rangle$
 $- E_\mu (1 - e^{-i\vartheta}) \hat{S}_- |\tilde{\psi}\rangle$

\Rightarrow (ablesen)

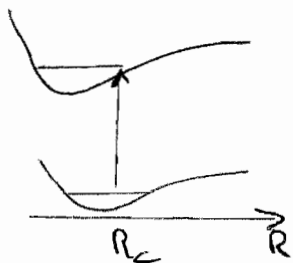
$\tilde{H} = \begin{pmatrix} \hat{T} + \hat{U}_a + \frac{1}{2} \frac{\partial \vartheta}{\partial t} & e^{-i\vartheta} E_\mu \\ e^{i\vartheta} E_\mu^* & \hat{T} + \hat{U}_b - \frac{1}{2} \frac{\partial \vartheta}{\partial t} \end{pmatrix}$

Annahme: $\vartheta = \omega_L t$, $E(t) = E_0 \cos(\omega_L t)$
 $= \frac{1}{2} E_0 [e^{i\omega_L t} + e^{-i\omega_L t}]$

$$\hat{H} = \begin{pmatrix} \hat{T} + \hat{V}_a & \frac{1}{2} \mu E_0 (1 + e^{-i2\omega_L t}) \\ \frac{1}{2} \mu E_0^* (1 + e^{i2\omega_L t}) & \hat{T} + \hat{V}_b - \omega_L \end{pmatrix}$$

vernachlässige die schnell
osillierende Terme

$$\hat{H}_{RWA} = \begin{pmatrix} \hat{T} + \hat{V}_a & \frac{1}{2} \mu E_0(t) \\ \frac{1}{2} \mu E_0^*(t) & \hat{T} + \hat{V}_b - \omega_L \end{pmatrix}$$



$$\hat{R}(\vartheta) \Rightarrow$$


Potentiale kreuzen sich
am Condon-Punkt

Bemerkungen

- (1) Der Rotationsoperator $\hat{R}(\vartheta)$ vermittelt eine Transformation des Bezugssystems des Hamilton-Op ("Koordinatentransformation" im elektronischen Freiheitsgrad). Das neue Bezugssystem rotiert mit ω_L ("rotating frame").

$$(2) \quad E(t) = E_0(t) \cos(\omega_L t + \varphi(t))$$

Bei Pulsen mit zeitabhängiger Phase (z.B. Chirp) bestehen zwei Möglichkeiten, \hat{U} in $\hat{R}(U)$ sinnvoll zu wählen:

$$\varphi_1 = \omega_L t$$

$$\varphi_2 = \omega_L t + \varphi$$

$$\hat{U}_{RWA}^1 = \begin{pmatrix} \hat{T} + \hat{V}_a & \frac{1}{2} \mu E_0(t) e^{i\varphi(t)} \\ \frac{1}{2} \mu E_0(t) e^{i\varphi(t)} & \hat{T} + \hat{V}_b - \omega_L \end{pmatrix}$$

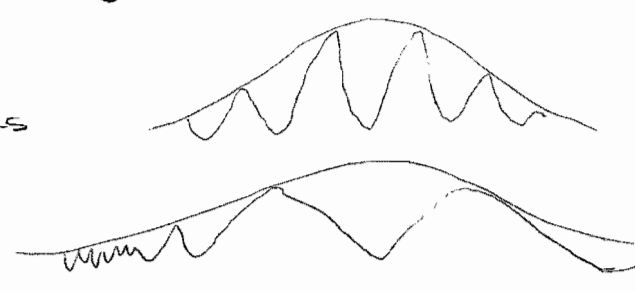
$$\hat{U}_{RWA}^2 = \begin{pmatrix} \hat{T} + V_a & \frac{1}{2} \mu E_0(t) \\ \frac{1}{2} \mu E_0(t) & \hat{T} + \hat{V}_b - \omega_L - \frac{\partial \varphi}{\partial t} \end{pmatrix}$$

$$\text{Chirp: } \frac{\partial \varphi}{\partial t} = \chi(t - t_p)$$

Bezugsrahmen im Fall von \hat{U}_{RWA}^1 rotiert mit Trägerfrequenz ω_L , im Fall von \hat{U}_{RWA}^2 mit instanter Frequenz $\omega_L + \frac{\partial \varphi}{\partial t}$

transform - linearer Puls

gedirpter Puls



2.2 Rabi-Oszillationen

$$\hat{H}_{RWA} = \begin{pmatrix} 0 & -\frac{1}{2} \mu E_0 e^{-i\Delta_L t} \\ -\frac{1}{2} \mu E_0 e^{i\Delta_L t} & 0 \end{pmatrix}$$

$$\dot{a}(t) = \frac{i}{2} \mu E_0 e^{i\Delta_L t} b(t)$$

$$\dot{b}(t) = \frac{i}{2} \mu E_0 e^{-i\Delta_L t} a(t)$$

(zur Erinnerung:

$$| \psi(t) \rangle = a(t) e^{-i\omega_a t} | a \rangle + b(t) e^{-i\omega_b t} | b \rangle$$

$$| \tilde{\psi} \rangle = \begin{pmatrix} a(t) \\ b(t) \end{pmatrix}$$

Lösung der DGE:

$$\ddot{b} = -i\Delta_L \dot{b} - \frac{1}{4} (\mu E_0)^2 b$$

$$b(t) = e^{-\frac{i}{2}\Delta_L t} \left[A \cdot e^{\frac{i}{2}\Omega t} + B \cdot e^{-\frac{i}{2}\Omega t} \right]$$

$$\text{Rabi-Frequenz } \Omega = \sqrt{(\mu E_0)^2 + \Delta_L^2}$$

$$a(t) = \frac{e^{\frac{i}{2}\Delta_L t}}{\mu E_0} \left[(\Delta_L - \Omega) A \cdot e^{\frac{i}{2}\Omega t} + (\Delta_L + \Omega) B \cdot e^{-\frac{i}{2}\Omega t} \right]$$

Anfangsbedingungen $a(0) = 1$ $b(0) = 0$

$$\Rightarrow A = -B = \frac{\mu E_0}{2\Omega}$$

einsetzen:

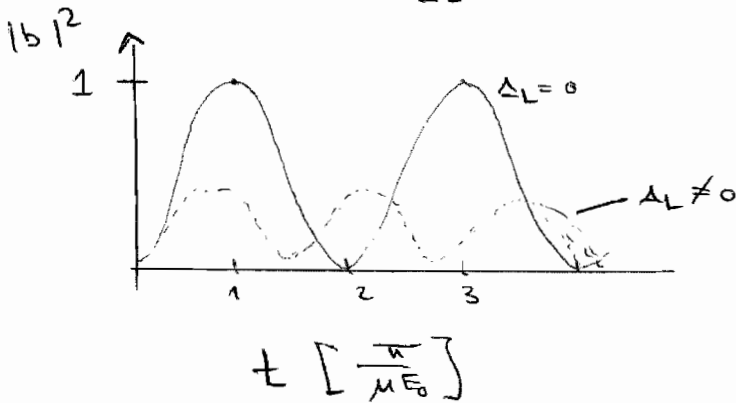
$$a(t) = e^{i/2 \Delta_L t} \left[\cos\left(\frac{1}{2} \Omega t\right) - i \frac{\Delta_L}{\Omega} \sin\left(\frac{1}{2} \Omega t\right) \right]$$

$$b(t) = e^{-i/2 \Delta_L t} \frac{\mu E_0}{\Omega} i \sin\left(\frac{1}{2} \Omega t\right)$$

Besetzung der Niveaus:

$$|a(t)|^2 = \frac{\Delta_L^2}{\Omega^2} + \frac{(\mu E_0)^2}{\Omega^2} \cos^2\left(\frac{1}{2} \Omega t\right)$$

$$|b(t)|^2 = \frac{(\mu E_0)^2}{\Omega^2} \sin^2\left(\frac{1}{2} \Omega t\right)$$



Rabi-Oszillation

Bemerkungen

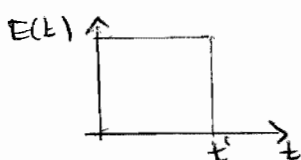
(i) $|b(t)|^2 \xrightarrow{t \ll 1} \left(\frac{\mu E_0}{2}\right)^2 t^2$ unabhängig von Verstärkung

(ii) vollständiger Transfer der Besetzung für resonante Anregung ($\Delta_L = 0$) mit Periode $\frac{2\pi}{\mu E_0}$

(iii) bei nah-resonanter Anregung ($\Delta_L \neq 0$) oszillieren die Besetzung mit

$$\frac{2\pi}{\Omega} = \frac{2\pi}{\sqrt{(\mu E_0)^2 + \Delta_L^2}} \quad |b(t)|^2 < 1 \quad \forall t$$

(iv) für $\Delta_L = 0$ läßt sich der Besetzungstransfer über die Pulsdauer steuern



falls $t' = \frac{\pi}{\mu E_0} \rightarrow |b(t')|^2 = 1$ π -Puls
 $t' = \frac{1}{2} \frac{\pi}{\mu E_0} \rightarrow |b(t')|^2 = \frac{1}{2}$ $\frac{\pi}{2}$ -Puls
 etc.

2.3 optische Bloch - Gleichungen

reiner Zustand: $|\psi(t)\rangle = a(t)|1\rangle + b(t)|2\rangle$

$$|\psi(t)\rangle = \cos \vartheta(t) |1\rangle + e^{i\varphi(t)} \sin \vartheta(t) |2\rangle$$

Bloch - Kugel:

$$x = \sin 2\vartheta \cos \varphi$$

$$y = \sin 2\vartheta \sin \varphi$$

$$z = \cos 2\vartheta$$

$$\hat{\rho} = \begin{pmatrix} \rho_{11} & \rho_{12} \\ \rho_{21} & \rho_{22} \end{pmatrix}$$

ρ_{ii} Besetzungen

ρ_{ij} Kohärenzen

aus $\hat{\rho} = |\psi\rangle\langle\psi| \Rightarrow$ Bloch - Vektor

$$\vec{r}(t) = \begin{pmatrix} 2 \operatorname{Re} \rho_{12} \\ 2 \operatorname{Im} \rho_{12} \\ \rho_{22} - \rho_{11} \end{pmatrix}$$

Jeder Operator eines 2den Hilbertraums lässt sich in der Basis der Pauli - Matrizen darstellen

$$\hat{S}_1 = \frac{1}{2} \begin{pmatrix} 0 & 1 \\ 1 & 0 \end{pmatrix} \quad \hat{S}_2 = \frac{1}{2} \begin{pmatrix} 0 & -i \\ i & 0 \end{pmatrix} \quad \hat{S}_3 = \frac{1}{2} \begin{pmatrix} 1 & 0 \\ 0 & -1 \end{pmatrix} \quad \hat{S}_0 = \frac{1}{2} \begin{pmatrix} 1 & 0 \\ 0 & 1 \end{pmatrix}$$

$$[\hat{S}_i, \hat{S}_j] = i \epsilon_{ijk} \hat{S}_k \quad \sum \hat{S}_i^2 = 1 \quad \hat{S}_i^2 = \frac{1}{4}$$

$$\hat{H} = \begin{pmatrix} E_b & W_{ba} \\ W_{ab} & E_a \end{pmatrix}$$

$$\hat{H} = \sum_i q_i \hat{S}_i$$

$$\begin{aligned} q_1 &= W_{ab} + W_{ba} \\ q_2 &= i(W_{ab} - W_{ba}) \\ q_3 &= E_b - E_a \end{aligned}$$

Liouville - v. Neumann - gl.

$$\dot{\vec{p}} = [\mathcal{H}, \vec{p}] -$$

$$\boxed{\dot{\vec{r}} = \vec{Q} \times \vec{r}} \quad \text{Block-gl.} \quad ; \quad \vec{Q} = \begin{pmatrix} Q_1 \\ Q_2 \\ Q_3 \end{pmatrix}$$

$$E(t) = E_0 \cdot \cos \omega t$$

$$\text{RWA: } W_{ab} = -\frac{1}{2} \mu E_0 e^{i\omega t}$$

$$\vec{Q} = \begin{pmatrix} -\mu E_0 \cos \omega_L t \\ -\mu E_0 \sin \omega_L t \\ \omega_0 \end{pmatrix}$$

Transformation in rotierende Bezugssysteme

$$\vec{r}' = U^+ \vec{r} \quad U^+ = \begin{pmatrix} \cos \omega_L t & \sin \omega_L t & 0 \\ -\sin \omega_L t & \cos \omega_L t & 0 \\ 0 & 0 & 1 \end{pmatrix}$$

$$\boxed{\dot{\vec{r}}' = \vec{Q}' \times \vec{r}'}$$

Block-gl. in rotierter (rotierendes) Bezugssysteme

$$\vec{Q}' = \begin{pmatrix} -\mu E_0 \\ 0 \\ \omega_0 - \omega_L \end{pmatrix}$$

Die Bewegung des Bloch-Vektors \vec{r}' entspricht einer Präzession um den \vec{Q}' -Vektor mit der

$$\text{Rabi-Frequenz } \Omega_R = \sqrt{(\mu E_0)^2 + \Delta_L^2}$$

$$\dot{\vec{r}} = \frac{1}{\hbar} \vec{M} \vec{r}'$$

$$\dot{r}'_1 = (\omega_0 - \omega_L) r'_1 + 2\mu E_0 \sin \varphi r'_3$$

$$\dot{r}'_2 = -(\omega_0 - \omega_L) r'_2 + 2\mu E_0 \cos \varphi r'_3$$

$$\dot{r}'_3 = -\mu E_0 \sin \varphi r'_1 - 2\mu E_0 \cos \varphi r'_2$$

• falls $\Delta_L \gg \mu E_0$ oder $\Delta_L \gg \dot{\vartheta}(t)$:

Blach-Vektor folgt dem \vec{Q} -Vektor adiabatisch

• falls $\Delta_L = 0$, $\varphi(t) \rightarrow \dot{\Gamma}_1' = 0$, $\dot{\Gamma}_2' = 2\mu E_0 \Gamma_3'$, $\dot{\Gamma}_3' = -2\mu E_0 \Gamma_2'$

$$\text{Ansatz: } \Gamma_2'(t) = \sqrt{1 - \Gamma_1'(0)^2} \cos[\vartheta(t) + k]$$

$$\Gamma_3'(t) = \sqrt{1 - \Gamma_1'(0)^2} \sin[\vartheta(t) + k]$$

einsetzen in Bloch-Gleichung

$$\dot{\vartheta} = \mu E_0(t)$$

$$\vartheta(t) = \int_0^t \mu E_0(t') dt'$$

„Kippwinkel“ / „Rabiwinkel“

$$\Gamma_1'(t) = \Gamma_1'(0)$$

$$\Gamma_2'(t) = \Gamma_2'(0) \cos \vartheta(t) + \Gamma_3'(0) \sin \vartheta(t)$$

$$\Gamma_3'(t) = -\Gamma_2'(0) \sin \vartheta(t) + \Gamma_3'(0) \cos \vartheta(t)$$

Drehung von \vec{r}' in y - z -Ebene um x -Achse um Winkel $\vartheta(t)$

Beispiel:

$$(i) \quad E_0(t) = E_0$$

$$\Delta_L = 0$$

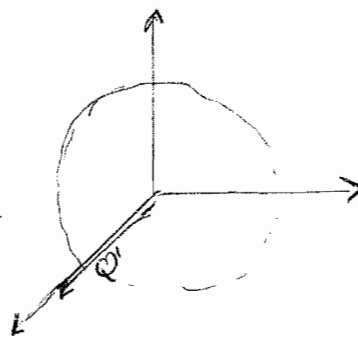
$$\vec{Q}' = \begin{pmatrix} \mu E_0 \\ 0 \\ 0 \end{pmatrix}$$

$$\vec{r}'(0) = \begin{pmatrix} 0 \\ 0 \\ -1 \end{pmatrix}$$

Präzession um x -Achse

periodisch in

$$\begin{pmatrix} 0 \\ 0 \\ -1 \end{pmatrix} \text{ u. } \begin{pmatrix} 0 \\ 0 \\ 1 \end{pmatrix}$$



für $\Delta_L \neq 0$

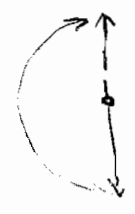
$$\vec{Q}' \neq \vec{x}'$$

Präzession erreicht nicht

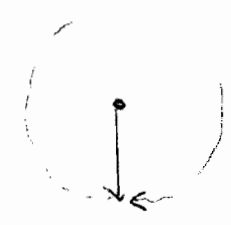
$$\text{mehr } \begin{pmatrix} 0 \\ 0 \\ 1 \end{pmatrix}$$

(ii) $\Delta_L = 0$

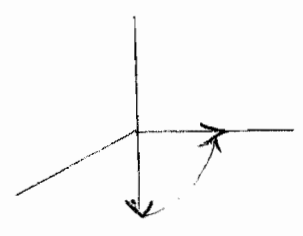
π -Puls



2π -Puls



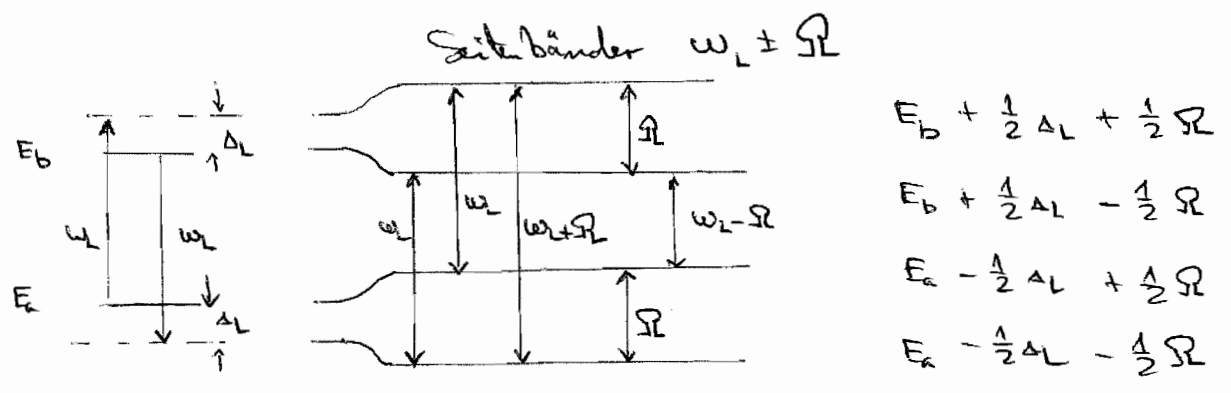
$\pi/2$ -Puls



2.4 Dressed States

Erwartungswert des Dipol-Op.

$$\begin{aligned} \langle \psi(t) | \hat{\mu} | \psi(t) \rangle &= a^*(t) b(t) \mu e^{i\omega_0 t} + \text{const} \\ &= -\frac{\mu E_0}{4\Omega^2} \left[2\Delta_L e^{-i\omega_L t} - (\Delta_L - \Omega) e^{-i(\omega_L + \Omega)t} \right. \\ &\quad \left. - (\Delta_L + \Omega) e^{-i(\omega_L - \Omega)t} \right] \end{aligned}$$



Analogie zur klass. E-Dynamik: oszillierender Dipol strahlt

→ Fluoreszenz-Tripelt für starke Felder

für $E_0(t) = E_0$: Eigenzustände von $\hat{H}_0 + \hat{W}$ = dressed states

Betrachten allg. Lsg des ZN-Problems

(i) mit $A=0, B=1$

$$a_1(t) = \frac{-(\Delta_L + \Omega)}{\mu E_0} e^{i\Delta_L t} e^{-i\frac{1}{2}\Omega t}$$

$$b_1(t) = e^{-i\frac{1}{2}\Delta_L t} e^{-i\frac{1}{2}\Omega t}$$

$$\begin{aligned} |\psi_1\rangle &= a_1(t) e^{iE_a t} |1\rangle + b_1(t) e^{-iE_b t} |2\rangle \\ &= C_+ \left[-\frac{\Delta_L + \Omega}{\mu E_0} e^{i\frac{1}{2}(\Delta_L - \Omega)t} |1\rangle \right. \\ &\quad \left. + e^{-i\frac{1}{2}(\Delta_L + \Omega)t} e^{-iE_b t} |2\rangle \right] \end{aligned}$$

(ii) $A=1, B=0$

$$|\psi_{\pm}\rangle = C_{\pm} \left[-\frac{\Delta_L - \Omega}{\mu E_0} e^{i\frac{1}{2}(\Delta_L + \Omega)t} e^{-iE_0 t} |1\rangle + e^{i\frac{1}{2}(\Delta_L - \Omega)t} e^{-iE_0 t} |2\rangle \right]$$

$$1 = C_{\pm}^2 \left[\frac{(\Delta_L \pm \Omega)^2}{(\mu E_0)^2} + 1 \right] \rightarrow C_{\pm} = \sqrt{\frac{\Omega \mp \Delta_L}{2\Omega}}$$

$$\rightarrow |\psi_{\pm}\rangle = \mp \sqrt{\frac{\Omega \pm \Delta_L}{2\Omega}} e^{i\frac{1}{2}(\Delta_L - \Omega)t} e^{-iE_0 t} |1\rangle + \frac{\Omega \mp \Delta_L}{2\Omega} e^{i\frac{1}{2}(\Delta_L + \Omega)t} e^{-iE_0 t} |2\rangle$$

(i) $|\langle 1 | \psi_{\pm} \rangle|^2 = \frac{\Omega \pm \Delta_L}{2\Omega} \quad |\langle 2 | \psi_{\pm} \rangle|^2 = \frac{\Omega \mp \Delta_L}{2\Omega}$

Bestandteile sind unabh. von t

$\rightarrow |\psi_{\pm}\rangle$ stationäre Zustände von $\hat{H}_0 + \hat{W}$

(ii) $\langle \psi_{\pm} | \mu | \psi_{\pm} \rangle = \mp \frac{\mu E_0}{2\Omega} \mu e^{i\omega_L t} + c.c.$

Dipolmomentwert in dressed state nicht oszilliert nur mit ω_L

(iii) Schwaches Feld: $\mu E \ll |\Delta_L|$

$$\rightarrow \Omega = |\Delta_L| \sqrt{1 + \left(\frac{\mu E_0}{\Delta_L}\right)^2} \approx |\Delta_L| \left(1 + \frac{1}{2} \left(\frac{\mu E_0}{\Delta_L}\right)^2\right)$$

$$\Delta_L > 0: |\psi_{+}\rangle = e^{-iE_0 t} |1\rangle + \frac{\mu E_0}{2\Delta_L} e^{-i(E_0 + \Delta_L)t} |2\rangle$$

$$|\psi_{-}\rangle = \frac{\mu E_0}{2\Delta_L} e^{i(E_0 - \Delta_L)t} |1\rangle + e^{-iE_0 t} |2\rangle$$

$\Delta_L < 0$: $|1\psi_+\rangle, |1\psi_-\rangle$ vertauscht

Für schwache Felder werden die EZ von $\hat{H}_0 + \hat{W}$ wenig von den EZ von \hat{H}_0 ab, für starke Felder erfolgt eine vollständige Mischung der EZ von \hat{H}_0 .

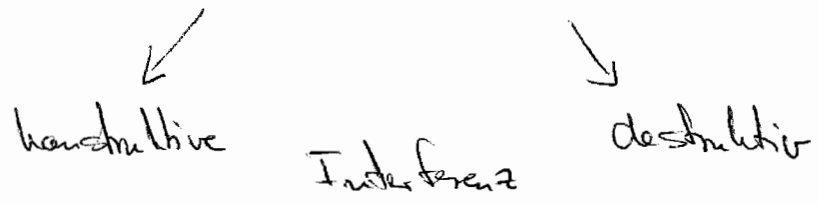
26.11.08

3. Konzepte der kohärenten Steuerung

Prinzip der kohärenten Steuerung:

QM Superpositionsprinzip

↓
(zeitabh.) Variation der Phasen
zwischen versch. Quantenzustände



Bsp.: H_2 -Molekül LCAO $\psi(r, \tau)$ Atom-Orbital


$$\psi_s(r) = \frac{1}{\sqrt{2}} (\psi(r, \tau_A) \pm \psi(r, \tau_B))$$

$+1 = e^{2\pi i}$
 $-1 = e^{\pi i}$

übliche QM : $|\psi(t=0)\rangle \xrightarrow{sg} |\psi(t>0)\rangle$

kohärente Steuerung : Welche Dynamik (welcher \hat{H}) garantiert ein bestimmtes $|\psi(t>0)\rangle$ für gegebenes $|\psi(t=0)\rangle$?

3 Beispiele :

- IF in der Frequenzdomäne  bidirektionale Steuerung
Bumms-Shapiro-Selene
- IF in der Zeitdomäne \rightarrow Wellenpaketdynamik : Pump-Proben-Spektroskopie (Tumor, Vesstoff, Rice)
- adiabatische Folge \rightarrow STIRAP (Bergmann et al.)

⇒ intuitiv

⇒ Variation weniger Parameter

3.1 Adiabatic Passage

adiab. Änderung: langsame Änderung

Diagn. im Laserfeld: langsame Änderung von $I(t)$, $\omega_c(t)$, $\Delta(t)$

erinnern: Adiabatisches Theorem

Falls $\hat{H}(t)$ sich nur langsam mit t ändert und $|\psi(t=0)\rangle$ ein Eigenzustand von $\hat{H}(t=0)$ ist, dann bleibt $|\psi(t)\rangle$ unter der Zeitentwicklung ein EZ von $\hat{H}(t)$ in der Foll, dass die zeitl. Änd. von $\hat{H}(t)$ unendlich langsam erfolgt

Voraussetzung: Energie-Darstellung von $\hat{H}(0)$

$$\hat{H}(t) = \begin{pmatrix} E_1 & w_{12} & w_{13} & \dots \\ w_{21} & E_2 & w_{23} & \dots \\ \vdots & \vdots & \vdots & \ddots \end{pmatrix} \quad |\psi\rangle = \begin{pmatrix} \psi_1 \\ \psi_2 \\ \psi_3 \\ \vdots \end{pmatrix}$$

$\hat{D}(t) = \hat{U}^\dagger(t) \hat{H}(t) \hat{U}(t)$ unitäre Transformation, die $\hat{H}(t)$ diagonalisiert

$$|\bar{\psi}\rangle = \hat{U}^\dagger |\psi\rangle$$

$$i \frac{\partial}{\partial t} |\psi\rangle = \hat{H} |\psi\rangle$$

$$i \frac{\partial}{\partial t} (\hat{U} |\bar{\psi}\rangle) = i \hat{U} \frac{\partial}{\partial t} |\bar{\psi}\rangle + i \frac{\partial \hat{U}}{\partial t} |\bar{\psi}\rangle = \hat{H} \hat{U} |\bar{\psi}\rangle$$

$$i \hat{U} \frac{\partial}{\partial t} |\bar{\psi}\rangle = \hat{H} \hat{U} |\bar{\psi}\rangle - i \frac{\partial \hat{U}}{\partial t} |\bar{\psi}\rangle$$

$$i \frac{\partial}{\partial t} |\bar{\psi}\rangle = [\hat{U}^\dagger \hat{H} \hat{U} - i \hat{U}^\dagger \frac{\partial \hat{U}}{\partial t}] |\bar{\psi}\rangle$$

$$\tilde{H} = \hat{U}^\dagger \hat{H} \hat{U} - i \hat{U}^\dagger \frac{\partial \hat{U}}{\partial t}$$

transformierte Schrödinger - Gls

$$i \frac{\partial}{\partial t} |\tilde{\Psi}\rangle = \hat{D}(t) |\tilde{\Psi}\rangle - i \hat{U}^\dagger(t) \frac{d\hat{U}}{dt} |\tilde{\Psi}\rangle$$

in adiab. Näherung vernachlässigt

Nicht-adiabatische Korrekturen

Bsp.: Zwei-Niveau-System

$$\hat{H} = \begin{pmatrix} E_a(t) & W_{ab}(t) \\ W_{ba}(t) & E_b(t) \end{pmatrix}$$

diagonalisiert: $\hat{D} = \begin{pmatrix} E_- & 0 \\ 0 & E_+ \end{pmatrix}$

$$E_{\pm} = \frac{1}{2} (E_a + E_b) \pm \frac{1}{2} \sqrt{(E_a - E_b)^2 + 4|W_{ab}|^2}$$

$$\hat{D}(t) = \hat{U}^\dagger \hat{H} \hat{U} \quad \text{mit}$$

$$\hat{U} = \begin{pmatrix} \cos \frac{\vartheta}{2} e^{-i\varphi/2} & -\sin \frac{\vartheta}{2} e^{-i\varphi/2} \\ \sin \frac{\vartheta}{2} e^{i\varphi/2} & \cos \frac{\vartheta}{2} e^{i\varphi/2} \end{pmatrix}$$

$$\tan \vartheta = \frac{2|W_{ab}|}{E_a - E_b}$$

$$W_{bb} = |W_{ab}| e^{i\varphi}$$

$$\hat{U}^\dagger \frac{d\hat{U}}{dt} = \frac{i}{2} \frac{\partial \vartheta}{\partial t} \begin{pmatrix} 0 & -1 \\ 1 & 0 \end{pmatrix} + \frac{1}{2} \frac{\partial \varphi}{\partial t} \begin{pmatrix} \cos \vartheta & -\sin \vartheta \\ \sin \vartheta & -\cos \vartheta \end{pmatrix}$$

$$\hat{U}^\dagger \frac{d\hat{U}}{dt} \approx 0 \quad \vartheta: \text{ "Mischwinkel" } \quad (\text{Übung})$$

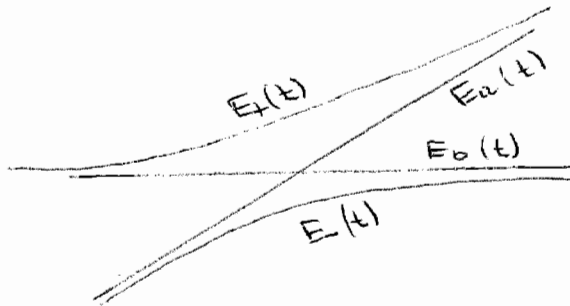
$$\left(\frac{\partial \vartheta}{\partial t}\right)^2 + \left(\frac{\partial \varphi}{\partial t}\right)^2 \sin^2 \vartheta \ll \frac{1}{4} (E_+ - E_-)^2 + \left(\frac{\partial \varphi}{\partial t}\right)^2 \cos^2 \vartheta$$

Bedingung für Adiabazität

Landau-Zener-Modell

$$E_a(t) = E_b + \alpha t$$

$$W_{ba}(t) = W_{ab}(t) = W$$



Abstoßung
der Niveaus durch
die Kopplung

$$\frac{\partial \psi}{\partial E} = 0 \quad \frac{\partial \psi}{\partial t} = -\frac{2W}{(E_+ - E_-)}$$

$$\Rightarrow \frac{2W|\alpha|}{(E_+ - E_-)^2} \ll \frac{1}{2} (E_+ - E_-)$$

$$\Rightarrow (E_+ - E_-)^3 \gg 4W|\alpha|$$

$$\text{für } E_a(t) = E_b : E_+ - E_- = 2W$$

$$\Rightarrow \frac{2W^2}{\alpha} \gg 1$$

$$\text{falls } E_a = F_a \cdot x$$

$$E_b = F_b \cdot x$$

Potentialkurven, die sich
kreuzen, um Wertung linear
genähert

Übergangs-Wahrsch.

$$P = 1 - p \quad ; \quad p = \exp\left[-\frac{2\pi W^2}{v|F_a - F_b|}\right]$$

v : Geschwindigkeit, mit
der Kreuzung passiert
wird

mit $|F_a - F_b| v = \left| \frac{dE}{dx} \right| \left| \frac{dx}{dt} \right| = \left| \frac{dE}{dt} \right| = \alpha$

$\rightarrow \boxed{P = \exp \left[- \frac{2\pi W^2}{|\alpha|} \right]}$ Landau-Zener-Formel

Interpretation

W : Kopplungsstärke

$\alpha = \frac{dE}{dt}$ $\alpha \gg 1$ schnell
 $\alpha \ll 1$ langsam

• $\frac{W^2}{\alpha} \gg 1 \rightarrow P \approx 0 \rightarrow \bar{P} \approx 1$

adiabatisches Folgen, d.h. fast vollständiger Transfer zwischen den diabatischen Zuständen für starke Kopplung / langsames Durchlaufen der Kreuzung

• $\frac{W^2}{\alpha} \ll 1 \rightarrow P \approx 1$ $\bar{P} \approx 0$

Besetzung verbleibt im diabatischen Zustand
 Falls für schwache Kopplung / schnelles Durchlaufen der Kreuzung

Verallgemeinerung auf zeitabhängige $W(t)$

$$\hat{U}(t) = \begin{pmatrix} E_1 & -\frac{1}{2} \mu E_0(t) e^{i \int_{t_0}^t W(t') dt'} + \text{c.c.} \\ -\frac{1}{2} \mu E_0(t) \left[e^{-i \int_{t_0}^t W(t') dt'} + \text{c.c.} \right] & E_2 \end{pmatrix}$$

Transformation ins ω -Bild

$$\hat{U}_0(t) = \begin{pmatrix} \exp[-iE_1 t] \exp\left[i \int_{-\infty}^t \Delta(t') dt'\right] & 0 \\ 0 & \exp[-iE_2 t] \exp\left[i \int_{-\infty}^t \Delta(t') dt'\right] \end{pmatrix}$$

$$\Delta(t) = \omega_L(t) - \omega_0$$

$$\hat{H}_I = U_0^\dagger \hat{H} U_0 - iU_0^\dagger \frac{\partial U}{\partial t}$$

$$\begin{aligned} \hat{H}_I^{RWA}(t) &= \begin{pmatrix} E_1 & -\frac{1}{2}\mu E_0(t) \\ -\frac{1}{2}\mu E_0(t) & E_2 \end{pmatrix} - \begin{pmatrix} E_1 - \frac{1}{2}\Delta_L(t) & 0 \\ 0 & E_2 + \frac{1}{2}\Delta_L(t) \end{pmatrix} \\ &= \frac{1}{2} \begin{pmatrix} -\Delta_L(t) & -\mu E_0(t) \\ -\mu E_0(t) & +\Delta_L(t) \end{pmatrix} \end{aligned}$$

Transformation, die \hat{H}_I^{RWA} diagonalisiert

$$\hat{U}_1(t) = \begin{pmatrix} \cos \frac{\vartheta(t)}{2} & -\sin \frac{\vartheta(t)}{2} \\ \sin \frac{\vartheta(t)}{2} & \cos \frac{\vartheta(t)}{2} \end{pmatrix}$$

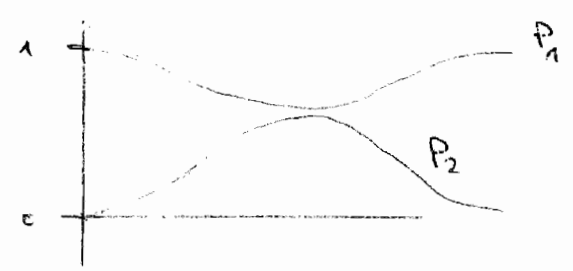
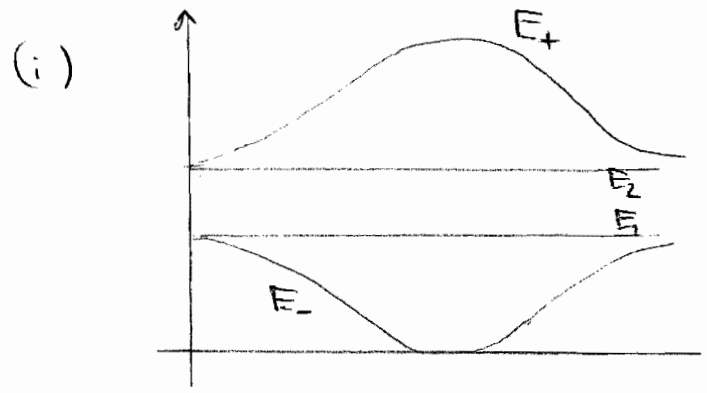
$$\tan \vartheta = \frac{\mu E_0(t)}{\Delta(t)}$$

$$\hat{H}' = \begin{pmatrix} E_-(t) & 0 \\ 0 & E_+(t) \end{pmatrix} - i\hat{U}_1 \frac{\partial \hat{U}_1}{\partial t}$$

$$E_{\pm}(t) = \frac{1}{2} \sqrt{(\mu E_0(t))^2 + \Delta^2(t)}$$

$$= \frac{1}{2} \Omega(t)$$

Bsp.:



adiab. Änd.
von $\Gamma(t)$

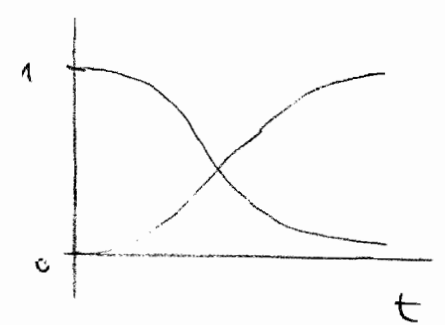
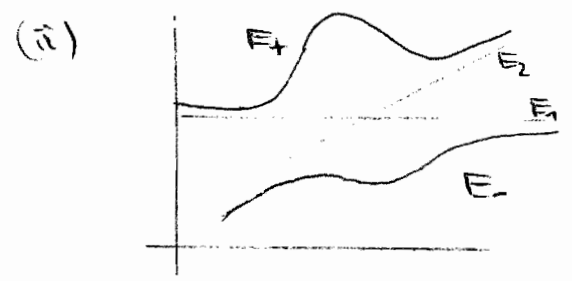
allg. $\Delta(t) > 0$, $\Omega(t) > 0$, $\Omega(t) \xrightarrow{t \rightarrow \pm\infty} 0$

$\rightarrow \frac{\Delta(t)}{\Omega(t)} \xrightarrow{t \rightarrow \pm\infty} \infty$ $\rightarrow \vartheta(t) = \arctan\left(\frac{\Omega(t)}{\Delta(t)}\right) \xrightarrow{t \rightarrow \pm\infty} 0$

$\varphi_+(t) = a_1 \sin\left(\frac{\vartheta}{2}\right) + a_2 \cos\left(\frac{\vartheta}{2}\right) \xrightarrow{t \rightarrow \pm\infty} a_2$

$\varphi_-(t) = a_1 \cos\left(\frac{\vartheta}{2}\right) - a_2 \sin\left(\frac{\vartheta}{2}\right) \xrightarrow{t \rightarrow \pm\infty} a_1$

Population kehrt kohärent in Ausgangszustand
zurück



adiab.
Änderung
von $\Delta(t)$

allg. $\Delta(t_c) = 0$, $\dot{\Delta}(t_c) > 0$, t_c : Crossing Time

$\Omega(t) > 0$, $\Omega(t) \xrightarrow{t \rightarrow \pm\infty} 0$

$\frac{\Delta(t)}{\Omega(t)} \xrightarrow{t \rightarrow \pm\infty} \pm\infty$ $\rightarrow \vartheta = \arctan\left(\frac{\Omega(t)}{\Delta(t)}\right) \xrightarrow{t \rightarrow \pm\infty} \frac{\pi}{2}$

$$\psi_+(t) \xrightarrow{t \rightarrow +\infty} a_2$$

$$\psi_-(t) \xrightarrow{t \rightarrow +\infty} a_1$$

$$\psi_+(t) \xrightarrow{t \rightarrow -\infty} a_1$$

$$\psi_-(t) \xrightarrow{t \rightarrow -\infty} a_2$$

Population wird
vollst. transferiert
(Beobachtungs-
inversion)

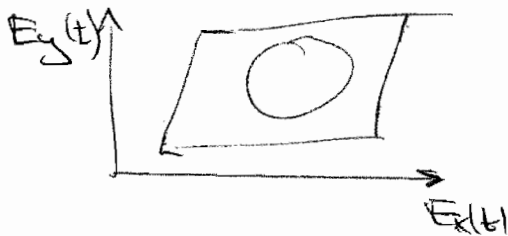
~~Transformation, die \hat{H}_{RW}~~

Bemerkung:

Die Differenz zwischen $E_{\pm}(t)$ und dem Diagonal-
element von H_I^{RW} , $\pm \frac{\hbar}{2} \Delta_L(t)$, wird als

AC Stark-Verschiebung bezeichnet

geometrische Phase (Berry-Phase)



$$i \frac{\partial}{\partial t} |\psi\rangle = \hat{H}(\vec{g}(t)) |\psi\rangle$$

$$\vec{g} = (g_1, g_2, \dots)$$

Parameter

instantane Eigenbasis $\{ |u(\vec{g}(t))\rangle \}$

$$\hat{H}(\vec{g}(t)) |u(\vec{g}(t))\rangle = E_u(\vec{g}(t)) |u(\vec{g}(t))\rangle$$

$$\text{Schleife: } \vec{g}(T) = \vec{g}(0) \quad |u(\vec{g}(T))\rangle = |u(\vec{g}(0))\rangle$$

$$|\psi(t)\rangle = e^{-\int_0^t dt' E_u(\vec{g}(t'))} e^{i \gamma_u(t)} |u(\vec{g}(t))\rangle$$

dyn. Phase geom. Phase

$$\dot{\gamma}_u(t) = i \langle u(\vec{g}(t)) | \nabla u(\vec{g}(t)) \rangle \cdot \dot{\vec{g}}(t)$$

$$|\psi(t)\rangle = e^{i\chi_n(t)} e^{-i\int_0^t dt E_n(\vec{y}(t))} |\psi(0)\rangle \quad \nabla|\psi\rangle = \nabla\vec{y}|\psi\rangle$$

$$\chi_n(t) = i \int_0^t \langle n(\vec{y}) | \nabla n(\vec{y}) \rangle d\vec{y}$$

$$\text{Re} [\langle n(\vec{y}) | \nabla n(\vec{y}) \rangle] = 0 \quad \text{wg. } \langle n(\vec{y}) | n(\vec{y}) \rangle = 1$$

$$\begin{aligned} \chi_n(t) &\stackrel{\text{Stokes}}{=} i \iint d\vec{S} \nabla \times \langle n | \nabla n \rangle \\ &= i \iint d\vec{S} \langle \nabla n | \times | \nabla n \rangle \\ &= i \iint d\vec{S} \sum_{m \neq n} \langle \nabla n | m \rangle \times \langle m | \nabla n \rangle \end{aligned}$$

$$\nabla_{\vec{y}} (\hat{H} |n\rangle) = \nabla (E_n |n\rangle)$$

$$\nabla_{\vec{y}} \hat{H} |n\rangle + \hat{H} \nabla |n\rangle = \nabla E_n |n\rangle + E_n \nabla |n\rangle$$

$$\langle m | \nabla \hat{H} |n\rangle + \langle m | \hat{H} | \nabla n \rangle = \langle m | \nabla E_n |n\rangle + \langle m | E_n | \nabla n \rangle$$

$$\langle m | \nabla n \rangle = \frac{\langle m | \nabla H |n\rangle}{E_n - E_m}$$

$$\chi_n(t) = - \iint d\vec{S} \vec{V}_n(\vec{y}) \left| \frac{\langle n(\vec{y}) | \nabla H |m(\vec{y})\rangle \times \langle m(\vec{y}) | \nabla H |n(\vec{y})\rangle}{(E_m - E_n)^2} \right|$$

$$\vec{V}_n(\vec{y}) = \text{Im} \sum_{m \neq n} \bullet \leftarrow$$

Entstehung bei \vec{y}^* : $E_+(Y) \geq E_-(Y)$

in führender Ordnung

$$\vec{V}_+(Y) = \text{Im} \left[\frac{\langle + | \nabla H(\vec{y}^*) \rangle \times \langle - | \nabla \hat{H}(\vec{y}^*) | + \rangle}{(E_+(Y) - E_-(Y))^2} \right] \quad (*)$$

$$\Rightarrow \vec{V}_- = -\vec{V}_+(\vec{y})$$

$$\Rightarrow \vec{\chi}_-(t) = -\vec{\chi}_+(t)$$

$$\text{obd. A } E_{\pm}(\vec{y}^*) = 0$$

$$\vec{y}^* = 0$$

$\vec{\psi}^\dagger \psi$

$$H = \frac{1}{2} \begin{pmatrix} \gamma_3 & \gamma_1 - i\gamma_2 \\ \gamma_1 + i\gamma_2 & -\gamma_3 \end{pmatrix}$$

Hamilton in Pauli-
Matrizen entwickelt

$$E_{\pm}(\vec{y}) = \frac{1}{2} |\vec{y}|^2$$

$$\vec{V}_+(\vec{y}) = -\vec{V}_-(\vec{y}) = \frac{\vec{y}}{2|\vec{y}|^3}$$

$$\vec{V}_+(\vec{y}) = -\vec{V}_-(\vec{y}) = \frac{1}{2} \frac{\vec{y}}{|\vec{y}|^3}$$

analog Fluß eines MF hervorgerufen durch
Monopol der Stärke $\frac{1}{2}$ durch Schlaufe C

$$\chi_{\pm} = -\frac{1}{2} \Omega(C)$$

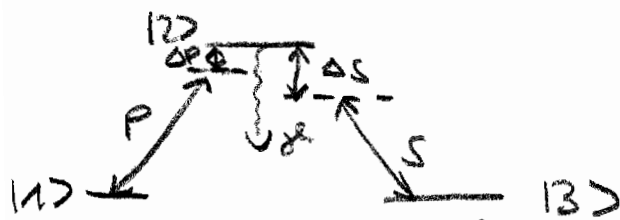
$$\text{d.h. } e^{i\chi_{\pm}(C)} = e^{\mp i\Omega(C)}$$

• falls Ω reell

$$e^{i\chi_{\pm}(C)} = \begin{cases} -1 & \text{falls Entartung} \\ +1 & \end{cases}$$

Berry: Proc. Royal Society London A 392,
45 (1984)

Stimuliertes Raman Adiabatische Passage (Stirap) Theorie Licht II
3.17.08



2 Zerfallswerte von $|2\rangle$

Bergmann, Theuer, Stone

Rev Mod Phys 70, 1003 (1998)

$$\hat{H} = \begin{pmatrix} E_1 & -\mu_{12}E(t) & 0 \\ -\mu_{21}E(t) & E_2 & -\mu_{23}E(t) \\ 0 & -\mu_{32}E(t) & E_3 \end{pmatrix}$$

Übung 1 \rightarrow $H_{RWA} = \begin{pmatrix} 0 & \frac{1}{2}\Omega_p(t) & 0 \\ \frac{1}{2}\Omega_p(t) & \Delta_p & \frac{1}{2}\Omega_s(t) \\ 0 & \frac{1}{2}\Omega_s(t) & \Delta_p - \Delta_s \end{pmatrix}$

$$E(t) = E_{op}(t)\cos(\omega_p t) + E_{os}(t)\cos(\omega_s t)$$

$$\Omega_p(t) = \mu_{12} E_{op}(t)$$

$$\Omega_s(t) = \mu_{23} E_{os}(t)$$

$$\Delta_p = E_2 - E_1 - \omega_p$$

$$\Delta_s = E_2 - E_1 - \omega_s$$

2 Photonen-Resonanz für $\Delta_p = \Delta_s = \Delta$

Eigenwerte und -vektoren von H_{RWA}

$$E_{\pm} = \frac{1}{2} \Delta \pm \sqrt{\Delta^2 + \Omega^2(t)}$$

$$\Omega(t) = \sqrt{\Omega_p^2(t) + \Omega_s^2(t)}$$

$$E_0 = 0$$

$$f_+(t) = a_1 \sin \vartheta \sin t + a_2 \cos t + a_3 \cos \vartheta \sin t$$

$$f_0(t) = a_1 \cos \vartheta - a_3 \sin \vartheta$$

eine $|2\rangle$ -Komponente

$$f_-(t) = a_1 \sin \vartheta \cos t - a_2 \sin t + a_3 \cos \vartheta \cos t$$

$$\tan \vartheta(t) = \frac{\Omega_p(t)}{\Omega_s(t)}$$

$$\tan 2\vartheta(t) = \frac{\Omega(t)}{\Delta}$$

falls wir $f_0(t)$ adiabatisch folgen, wird $|2\rangle$ zum Dunkelzustand! (dark state)

$$p_0(t) = \frac{R_S(t)}{R(t)} a_1 - \frac{R_P(t)}{R(t)} a_3$$

falls $\frac{R_P(t)}{R_S(t)} \xrightarrow{t \rightarrow +\infty} \infty \quad R_P \gg R_S$

$$\varphi(t) = \arctan\left(\frac{R_P}{R_S}\right) \xrightarrow{t \rightarrow \infty} \frac{\pi}{2}$$

falls $\frac{R_P(t)}{R_S(t)} \xrightarrow{t \rightarrow -\infty} 0 \quad R_S \gg R_P$

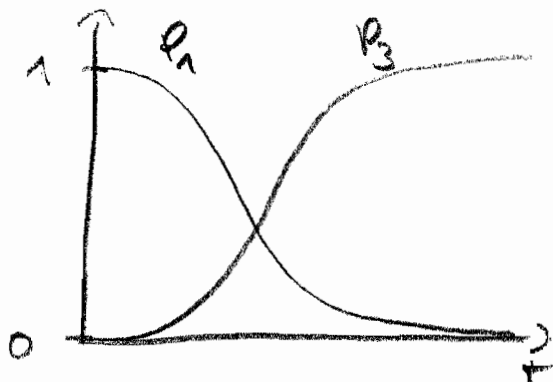
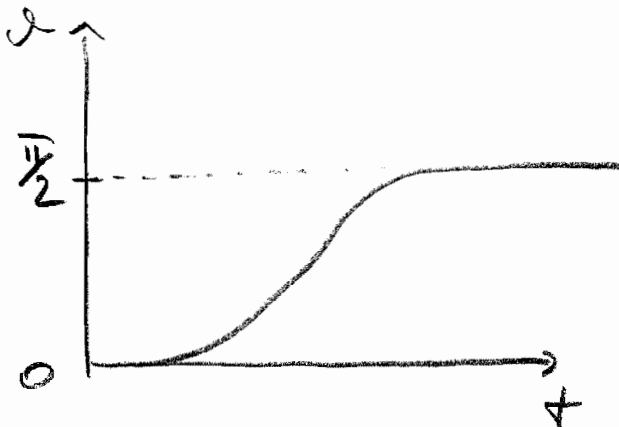
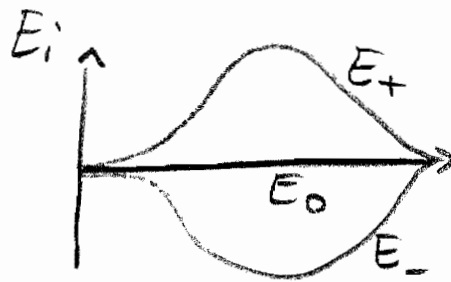
$$\varphi(t) = \arctan\left(\frac{R_P}{R_S}\right) \xrightarrow{t \rightarrow -\infty} 0$$

$$p_0(t) \xrightarrow{t \rightarrow +\infty} -a_3$$

$$\xrightarrow{t \rightarrow -\infty} a_1$$

↳ d.h. Puls S vor Puls P!

Reihenfolge entgegen der Substitution



Da der Zustand $|2\rangle$ nicht besetzt wird, Theorie Licht 11
3.12.07 / 2
beeinflussen seine Eigenschaften, insbesondere
die Zerfallsrate Γ , den Streu- Prozess nicht!

Falls $\Delta_p \neq \Delta_s$ (keine 2-Photonen-Resonanz)

$f_0 \sim a_2 \sin f(t)$ transiente Besetzung von $|2\rangle$

Falls $|\Delta| \gg -\Omega_{ps}(t)$ stark verstimmt

\rightarrow adiabatische Eliminierung von $|2\rangle$

\rightarrow effektives Zwei-Niveau-System

$$\Omega_{\text{eff}} = \frac{-\Omega_p(t)\Omega_s(t)}{2\Delta}$$

$$\Delta_{\text{eff}} = \frac{\Omega_p^2(t) - \Omega_s^2(t)}{2\Delta}$$

$\Delta_{\text{eff}} = 0$ für $-\Omega_p(t) = \Omega_s(t_c)$ Kreuzung

\rightarrow in adiabatischer Näherung vollständig.
Populationstransfer

Adiabazitätsbedingungen

$$\begin{pmatrix} f_+ \\ f_0 \\ f_- \end{pmatrix} = U^\dagger \begin{pmatrix} a_1 \\ a_2 \\ a_3 \end{pmatrix}$$

$$\hat{U} = \begin{pmatrix} \sin \vartheta \sin \varphi & \cos \vartheta & \sin \vartheta \cos \varphi \\ \cos \varphi & 0 & -\sin \varphi \\ \cos \vartheta \sin \varphi & -\sin \vartheta & \cos \vartheta \cos \varphi \end{pmatrix}$$

$$\hat{U}^\dagger \hat{H}_{RWA} \hat{U} - \hat{U}^\dagger \frac{\partial \hat{U}}{\partial t}$$

$$= \begin{pmatrix} \frac{1}{2} \Omega \cos \varphi & i \dot{\varphi} \sin \varphi & i \dot{\varphi} \\ -i \dot{\varphi} \sin \varphi & 0 & -i \dot{\varphi} \cos \varphi \\ -i \dot{\varphi} & i \dot{\varphi} \cos \varphi & -\frac{1}{2} \Omega \tan \varphi \end{pmatrix}$$

$$|\frac{1}{2} \Omega \cos \varphi| \gg |i \dot{\varphi} \sin \varphi|$$

$$|\frac{1}{2} \Omega \tan \varphi| \gg |i \dot{\varphi} \cos \varphi| \quad \text{stärkere Bedingung}$$

Änderung des Drehzustandes

$$|\langle \dot{\varphi}_0 | \varphi_{\pm} \rangle| \ll |E_{\pm} - E_0| \quad \text{hier}$$

$$|\dot{\varphi}_0\rangle = -i \dot{\varphi} (\sin \varphi |\varphi_+\rangle + \cos \varphi |\varphi_-\rangle)$$

$$\Rightarrow |\langle \dot{\varphi}_0 | \varphi_{\pm} \rangle| = \dot{\varphi} (\sin \varphi + \cos \varphi)$$

$$|\dot{\varphi}(t)| \ll |E_{\pm} - E_0| \quad \tan \varphi = \frac{\Omega_P}{\Omega_S}$$

$$\left| \frac{\dot{\Omega}_P \Omega_S - \Omega_P \dot{\Omega}_S}{\Omega_P^2 + \Omega_S^2} \right| \ll |E_{\pm}(t) - E_0(t)|$$

kollektive Adiabazitätsbedingung

falls $\Delta=0 : \tau = \frac{\pi}{4} : \Omega(t) \gg |\dot{\Omega}(t)| \approx \frac{1}{\tau}$ Theorie Licht Mat
3.12.08 $\sqrt{3}$
 \leadsto globale Abschätzung der Adiabazitätsbedingung

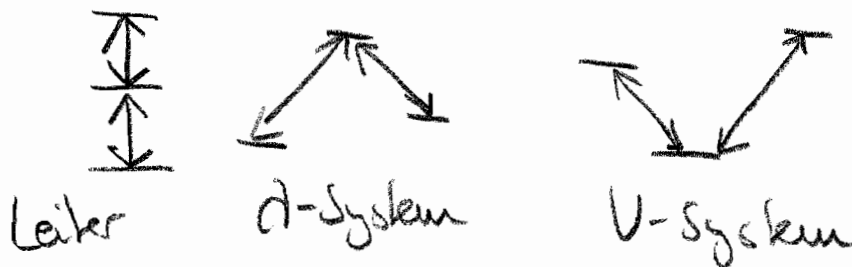
$$\underbrace{\Omega_0 T} \gg 1$$

Pulsfläche

Adiabazität erfordert große Pulsenenergien!

Bemerkungen

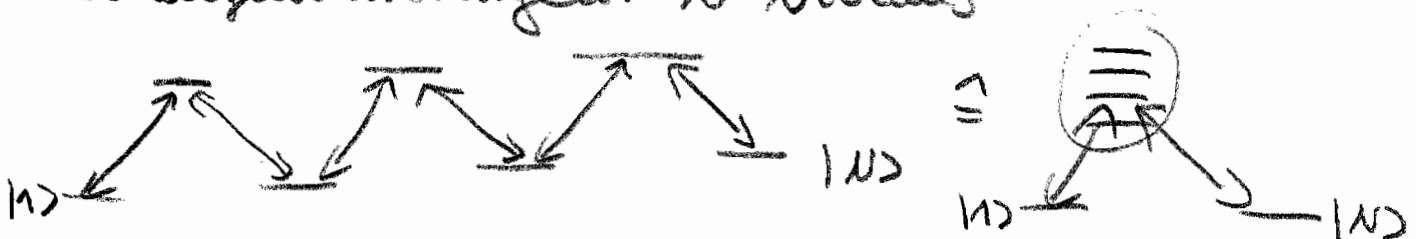
- Shrap funktioniert analog für



- Vorteile: robust
einfach zu implementieren

- Limitierungen: erfordert hohe Pulsenenergien
erfordert isolierte Niveaus

- Vorrat gemeinsamem: N Niveaus



falls $N=2n+1$: es existiert ein EW $\epsilon_0=0$
(Doppelzustand)

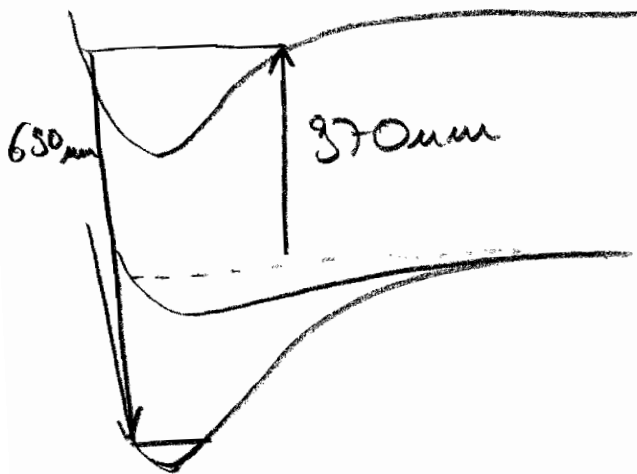
\leadsto Shrap

$N=2n : \Delta_2 = \Delta_3 = \dots = \Delta_{N-1} = 0 \rightarrow$ kein EW 0

- weitere adiabatische, z. B.

SCRAP starke chirped rapid adiabatic passage
Oberst, Münch, Halfmann PRF 93, 173001 (2007)

- aktuelle Anwendung: Erzeugung von ultrakalten Atomen in Grundzustand



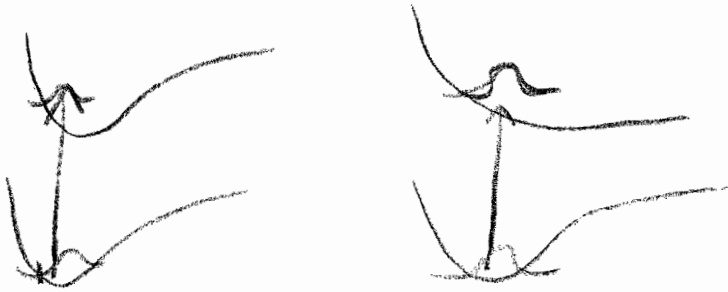
Li et al
Science 322, no. 5833, p. 231
(2008)

3.2. Wellenpaketdynamik und Pump-Probe-Spektroskopie

Theorie Licht Mat
3.12.07

(Tannor-Rice-Schema)

betrachten 2 BO-Potenziale



$$\hat{H}_0 = \begin{pmatrix} \hat{T} + V_a(\hat{R}) & 0 \\ 0 & \hat{T} + V_b(\hat{R}) \end{pmatrix}$$

$$\hat{H}_1 = \begin{pmatrix} 0 & -\mu(\hat{R})E(t) \\ -\mu(\hat{R})E(t) & 0 \end{pmatrix}$$

Anfangszustand $\psi(R, 0) = \begin{pmatrix} \psi_a(R) \\ 0 \end{pmatrix}$

erinnern: zeitabhängige Störungstheorie

$$\hat{H} = \hat{H}_0 + \lambda \hat{H}_1 \quad |\psi(t)\rangle = \sum_n \lambda^n |\psi^{(n)}(t)\rangle$$

$$i \frac{\partial}{\partial t} |\psi^{(0)}\rangle = \hat{H}_0 |\psi^{(0)}\rangle$$

$$i \frac{\partial}{\partial t} |\psi^{(1)}\rangle = \hat{H}_0 |\psi^{(1)}\rangle + \hat{H}_1 |\psi^{(0)}\rangle$$

$$i \frac{\partial}{\partial t} |\psi^{(2)}\rangle = \hat{H}_0 |\psi^{(2)}\rangle + \hat{H}_1 |\psi^{(1)}\rangle$$

$$|\psi^{(0)}(t)\rangle = e^{-i\hat{H}(t-t_0)} |\psi^{(0)}(t_0)\rangle$$

$$|\psi^{(1)}(t)\rangle = \lambda \int_{t_0}^t e^{-i\hat{H}_0(t-t')} + e^{-i\hat{H}_0(t-t')} \hat{H}_1(t') |\psi^{(0)}(t')\rangle dt'$$

$$|Z(t_b)\rangle = |Z^{(0)}(t_b)\rangle$$

$$= \frac{1}{i} \int_0^+ dt' e^{-i\hat{H}_0(t-t')} \hat{H}_1(t') e^{-i\hat{H}_0(t'-t_0)} |Z^{(0)}(t_0)\rangle$$

$$|Z^{(2)}(t)\rangle = \frac{1}{i^2} \int_{t_0}^+ dt' \int_{t_0}^{t'} dt'' e^{-i\hat{H}_0(t-t')} \hat{H}_1(t') e^{-i\hat{H}_0(t'-t'')} \hat{H}_1(t'') e^{-i\hat{H}_0(t''-t_0)} |Z^{(0)}(t_0)\rangle$$

in erster Ordnung

$$\begin{pmatrix} Z_a^{(1)}(R,t) \\ Z_b^{(1)}(R,t) \end{pmatrix} = \frac{1}{i} \int_{t_0}^+ \begin{pmatrix} e^{-i\hat{H}_a(t-t')} & 0 \\ 0 & e^{-i\hat{H}_b(t-t')} \end{pmatrix}$$

$$\begin{pmatrix} 0 & -\mu(E)E(t) \\ -\mu(R)E(t) & 0 \end{pmatrix} \cdot \begin{pmatrix} e^{-i\hat{H}_a(t'-t_0)} & 0 \\ 0 & e^{-i\hat{H}_b(t'-t_0)} \end{pmatrix} \begin{pmatrix} Z_a(R) \\ 0 \end{pmatrix}$$

$$= \begin{pmatrix} 0 \\ \frac{1}{i} \int_{t_0}^+ dt' e^{-i\hat{H}_b(t-t')} [-\mu(R)E(t')] e^{-i\hat{H}_a(t'-t_0)} Z_a(R) \end{pmatrix}$$

$$\text{falls } \psi_a(R, t_0) = \psi_v^a(R) \hat{H}_a \psi_v^a(R)$$

$$e^{-iH_a(t-t_0)} \psi_a(R, t_0) = e^{-iE_a(t-t_0)} \psi_v^a(R)$$

falls $\mu(R) = \mu$ Franck-Condon-Näherung

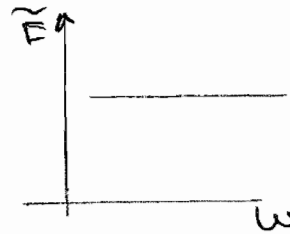
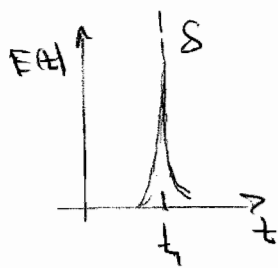
Überlapp der Wellenfunktionen bestimmt Anregungswahrscheinlichkeit $S(R) \psi_v^a(R) \psi_v^b(R)$

$$\text{Spezialfall: } E(t) = S(t-t_p)$$

$$\psi_b^{(1)}(R, t) = \frac{1}{i} e^{-iH_b(t-t_0)} (-\mu) e^{-iE_v^a(t_1-t_0)} \psi_v^a(R)$$

$$\psi_v^b(R) \mu \psi_v^a(R) = -\frac{1}{i} e^{-iE_v^a(t_1-t_0)} e^{-i\hat{H}_b(t-t_1)} \psi_v^b(R)$$

d.h. $\psi_b^{(1)}(R, t) = \text{konstante} \times \mu \psi_v^a(R)$ im angeregten Zustand propagiert



unendlich kurzer Puls ist spektral unendlich breit

kohärenter Puls \rightarrow kohärente Superposition aller Schwingungswellenfunktionen in v_b , die guten FC-Überlapp mit dem Anfangszustand haben

allg. $E(t) = \sum_i S(t-t_i) \rightarrow$ Superposition von Wellenpaketen, die Interferenz können

Einfachstes Beispiel: Überlagerung von zwei
Delta-Pulsen

$$E(t') = \delta(t' - t_1) e^{-i\omega_L t'} + \delta(t' - t_2) e^{-i\omega_L t'} e^{i\phi}$$

Parameter: ω_L , $t_2 - t_1$, delay
 ϕ : rel. Phase der Pulse

$$\psi(R, t_0) = \psi_0^a(R)$$

$t_0 = 0$

$$\begin{aligned} \psi_b^{(1)}(R, t) &= \frac{1}{i} e^{-i\hat{H}_b(t-t_1)} [-\mu e^{-i\omega_L t_1}] e^{-iE_0^a t_1} \psi_0^{(a)}(R) \\ &\quad + \frac{1}{i} e^{-i\hat{H}_b(t-t_2)} [-\mu e^{-i\omega_L t_2}] e^{-iE_0^a t_2} \psi_0^{(a)}(R) \\ &= \frac{1}{i} \left(e^{-i\hat{H}_b(t-t_1)} e^{-i\omega_L(t-t_1)} \right. \\ &\quad \left. e^{-iE_0(t-t_1)} e^{i\phi} + 1 \right) \psi_b^{(1,1)}(R, t) \end{aligned}$$

$$\psi_b^{(1,1)}(R, t) = e^{-i\hat{H}_b(t-t_1)} [-\mu e^{-i\omega_L t}] e^{-iE_0^a t_1} \psi_0^{(a)}(R)$$

das durch den 1. Puls erzeugte Wellenpaket

mit $\tau = t_2 - t_1$

$$\hat{H}_b' = \hat{H}_b - E_0' \quad E_0' = E_0 + E_0^b$$

$$\omega_L' = \omega_L + E_0^a - E_0^b$$

$$\psi_b^{(1)}(R, t) = \frac{1}{i} \left[e^{-i\hat{H}_b' \tau} e^{-i\omega_L' \tau} e^{i\phi} + 1 \right] \psi_b^{(1,1)}(R, t)$$

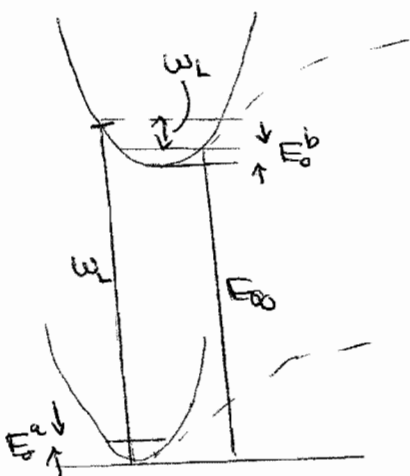
$$\text{falls } V_b'(R) \approx \frac{1}{2} m \omega_b^2 (R - R_b)^2$$

period. Oszillation

$$e^{-i\hat{H}_b' \tau_b} \psi(R, t) = \psi(R, 0)$$

$$\tau_b = \frac{2\pi}{\omega_b} \quad \text{Schwingungsdauer in } V_b$$

$$\omega_L' = n \omega_b + \Delta \quad ; \quad \Delta = \text{Verschiebung bzgl. Eigenwert von } \hat{H}_b'$$



$$\begin{aligned}\psi_b^{(1)}(R,t) &= \frac{1}{i} \left[e^{-i\hat{H}_b^0 \tau} e^{i(\omega_b + \Delta)\tau} e^{i\phi} + 1 \right] \psi_b^{(1,1)}(R,t) \\ &= \frac{1}{i} \underbrace{\left[e^{-i(\Delta\tau - \phi)} + 1 \right]}_{:= A} \psi_b^{(1,1)}(R,t)\end{aligned}$$

- falls $\Delta = \phi = 0 \rightarrow A = 2$
konstruktive Interferenz (beide Pulse gehen in Absorption)
- falls $\Delta = 0, \phi = \pm\pi \rightarrow A = 0$
destruktive Interferenz (1. Puls: Absorption; 2. Puls: Emission)
- falls $\Delta = 0, \phi = \pm\frac{\pi}{2} \rightarrow A = \pm(i+1)$
 $\langle \psi^{(1)} | \psi^{(1)} \rangle = 2$
konstruktiver Überlapp (Photon-Locking)
- falls $\Delta = \frac{1}{2}\omega_b, \phi = 0$
 $\rightarrow A = 0$ für $\tau = \tau_b$ (destr. Interf.)
Pulse um π phasenverschoben
 $A = 2$ für $\tau = \frac{1}{2}\tau_b$ Wellenpakete
räumlich getrennt \rightarrow keine destrukt. IF

In zweiter Ordnung Störungstheorie

$$\begin{aligned}\psi_c^{(2)}(R,t) &= \frac{1}{i^2} \int_0^t \int_0^{t'} e^{-i\hat{H}_c(t-t')} \\ &\quad \left[\hat{\mu}_{bc} E(t') \right] e^{-i\hat{H}_b(t'-t'')} \\ &\quad \cdot \left[\hat{\mu}_{ba} E(t'') \right] e^{-i\hat{H}_a t''} \psi(R,0) dt' dt''\end{aligned}$$



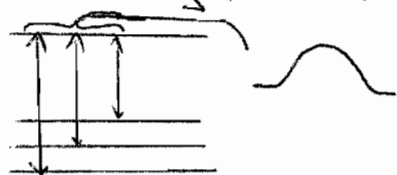
Interpretation: 2 LW befördert Teilwellepaket auf v_c (oder v_a)

3.3 Dichromatische Kontrolle

(Kontrolle in der Frequenzdomäne)

Idee: benutze Interferenzen zwischen Übergängen mit versch. ω_i , um die Besetzung eines gemeins. am Endzustand zu steuern

Realisierung: N CW-Laser mit definierter Phasenbeziehung, Oder: Puls, der alle ω_i enthält



$$\tilde{E}(\omega) = \sum_{i=1}^N (\tilde{E}_i(\omega) \delta(\omega - \omega_i) + \tilde{E}_i(-\omega) \delta(\omega + \omega_i))$$

$$\tilde{E}_i(\omega) = |\tilde{E}_i(\omega)| e^{i\phi(\omega)}$$

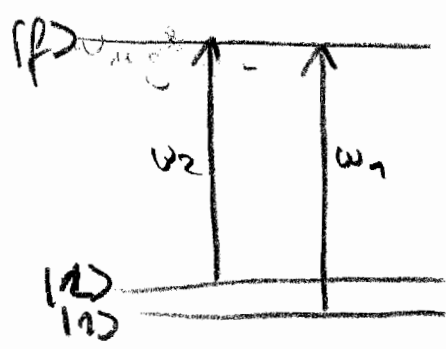
spektrale Amp. spektrale Phase

$$|\tilde{E}_i(-\omega)| = |\tilde{E}_i(\omega)| \quad \phi(-\omega) = -\phi(\omega)$$

$$E(t) = 2 \sum_{i=1}^N |\tilde{E}(\omega_i)| \cos[\omega_i t - \phi(\omega_i)]$$

$$= 2 \sum_{i=1}^N \text{Re}(\tilde{E}(\omega_i) e^{-i\omega_i t})$$

$$\hat{H}_I = -\hat{\mu} E(t) = -2\hat{\mu} \sum_{i=1}^N \text{Re}[\tilde{E}(\omega_i) e^{-i\omega_i t}]$$



$$\hat{H}_I = -\hat{\mu} E(t) = -2\hat{\mu} \sum_{i=1}^N \text{Re}[\tilde{E}_i(\omega_i) e^{-i\omega_i t}]$$

$N=2$ resonante Anregung $E_f = E_1 + \omega_1 = E_2 + \omega_2$

$$\hat{H}_0 |E_m\rangle = E_m |E_m\rangle \quad \hat{H} = \hat{H}_0 + \hat{H}_I$$

$$i \frac{\partial}{\partial t} |4\rangle = \hat{H} |4\rangle$$

$$|4(t)\rangle = \sum_n a_n(t) e^{-iE_n t} |E_n\rangle$$

NR:

$$i \frac{\partial}{\partial t} |4\rangle = i \sum_n (\dot{a}_n e^{-iE_n t} - i a_n E_n e^{-iE_n t}) |E_n\rangle$$

$$= \sum_n (a_n E_n e^{-iE_n t} + a_n e^{-iE_n t} \hat{H}_I) |E_n\rangle$$

$$\sum_n |E_m\rangle \langle E_m| :$$

$$i \dot{a}_m e^{-iE_m t} = \sum_n a_n e^{-iE_n t} \langle E_m | \hat{H}_I | E_n \rangle$$

$$\dot{a}_m(t) = \frac{1}{i} \sum_n a_n(t) e^{i\omega_{mn} t} \langle E_m | \hat{H}_I | E_n \rangle$$

mit $\omega_{mn} = E_m - E_n$

falls $a_1(t=-\infty) = 1$ $a_m(t=-\infty) = 0 \quad \forall m \neq 1$

elektromagnetisches Feld

$$\int_{-\infty}^{\infty} e^{i\omega_{mn} t} \langle E_m | \hat{H}_I | E_n \rangle dt \ll 1$$

$$a_m(t) = -\frac{1}{i} \int_{-\infty}^t dt' \mu_{m1} e^{i\omega_{m1}t'} E(t')$$

1. Ordnung
Störungstheorie

$$= -\frac{\mu_{m1}}{i} \int_{-\infty}^{\infty} d\omega \tilde{E}(\omega) \int_{-\infty}^t dt' e^{i(\omega_{m1}-\omega)t'}$$

$$\mu_{m1} = \langle E_{m1} | \hat{\mu} | E_1 \rangle$$

$t \rightarrow \infty$: Produktzustände des Kontrollprozesses

$$\int_{-\infty}^{\infty} dt' e^{i(\omega_{m1}-\omega)t'} = 2\pi \delta(\omega_{m1}-\omega)$$

$$a_m(t \rightarrow \infty) = 2\pi i \tilde{E}(\omega_{m1}) \mu_{m1}$$

$$= 2\pi i |\tilde{E}(\omega_{m1})| \mu_{m1} e^{i\phi(\omega_{m1})}$$

falls bei $t = -\infty$ $|E_1\rangle$ und $|E_2\rangle$ besetzt sind:

$$a_m(t \rightarrow \infty) = 2\pi i |\tilde{E}(\omega_{m1})| \mu_{m1} e^{i\phi(\omega_{m1})} a_1(t \rightarrow -\infty)$$

$$+ 2\pi i |\tilde{E}(\omega_{m2})| \mu_{m2} e^{i\phi(\omega_{m2})} a_2(t \rightarrow -\infty)$$

Wahrscheinlichkeit, den Zustand $|E_f\rangle$ zu finden

$$\frac{1}{(2\pi)^2} P(E_f) = |a_1|^2 |\tilde{E}(\omega_{m1})|^2 \mu_1^2$$

$$+ |a_2|^2 |\tilde{E}(\omega_{m2})|^2 \mu_2^2$$

$$+ 2 \operatorname{Re} [a_1 a_2^* \tilde{E}(\omega_1) \tilde{E}^*(\omega_2) \mu_1 \mu_2]$$

Zufuhrfrequenz ω \rightarrow Kontrollparameter
 $a_1, a_2, \phi(\omega_1) - \phi(\omega_2)$
 relative Phase

Theorie Licht Materie
17.12.08 12

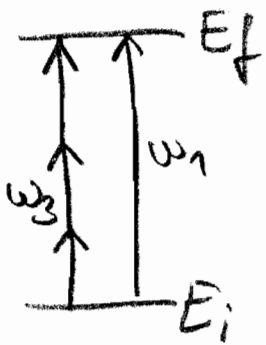
$$\frac{1}{(2\pi)^2} P(E_f) = [\mu_1^2 + x^2 \mu_2^2 + 2x \cos[\phi_1 - \phi_2] \cdot \mu_1 \mu_2] |\tilde{E}(\omega_1)|^2 |a_1|^2$$

$$x = \frac{|\tilde{E}(\omega_2) a_2|}{|\tilde{E}(\omega_1) a_1|} \quad \tan \phi_j = \frac{\text{Im}[E(\omega_j) a_j]}{\text{Re}[E(\omega_j) a_j]}$$

Kontrollvariable $S = \frac{x^2}{x^2+1}$ $0 \leq S \leq 1$ beschreibt alle relativen Laserintensitäten

$\Delta\phi = \phi_1 - \phi_2$ Variation der relativen Phase
Die Besetzung des Ziel-Niveaus $|E_f\rangle$ wird durch Variation von S und $\Delta\phi$, d.h. durch Variation der Anfangsbesetzungen sowie der relativen Intensität und Phase des Laser gesteuert.

analog: 1-Photon vs 3 Photonen - Interferenz



$$a_f(+\infty) = 2\pi i \left[\delta(\omega_1 - \omega_{fi}) \tilde{E}_1(\omega) \langle E_f | \hat{\mu} | E_i \rangle + \delta(3\omega_3 - \omega_{fi}) \tilde{E}_3^3(\omega) \langle E_f | \hat{\mu}^{(3)} | E_i \rangle \right]$$

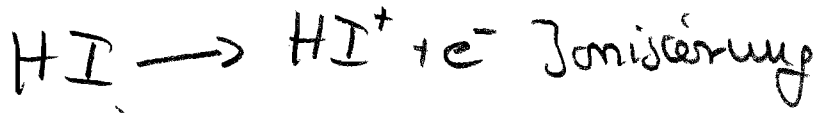
$$\mu_{fi}^{(3)} = \sum_{j_e} \mu_{fi} \frac{1}{E_i - E_j + 2\omega_3} \mu_{je} \frac{1}{E_i - E_e + \omega_3} \mu_{ei}$$

↳ Interferenzterm

$$P^{13}(E_f) = -2 (2\pi)^2 |\tilde{E}_1(\omega_1) \tilde{E}_3^3(3\omega_3)| \cdot \cos[\phi_1 - 3\phi_3 + \alpha] |F^{13}|$$

$$|F^{(13)} e^{i\alpha} = \sum_e \langle E_i | \hat{\mu}^{(13)} | E_e \rangle \langle E_e | \hat{\mu} | E_i \rangle$$

Bsp:



R.J. Gordon et al

Science 270, 77 (1995)

4. Theorie der optimalen Steuerung

Theorie Lilit Mo
17.12.08 3

Konzept:

$$t=0 \quad | \psi_i \rangle \quad \xrightarrow{\text{Schrödinger-Gleichung}} \quad | \psi_f \rangle \quad t=T$$

ges.: Anfangs- und Zielzustand
Bewegungsgleichung

ges.: äußeres Feld, so daß Zeitentwicklung

$$\hat{U}(T, 0; \epsilon) | \psi_i \rangle = | \psi_f \rangle \text{ liefert}$$

4.1 Theorem der Kontrollierbarkeit

(A) betrachten System von DGL

$$(*) \quad \dot{\vec{x}} = A \vec{x}(t) + B \vec{u}(t) \quad \vec{x} = \begin{pmatrix} x_1 \\ \vdots \\ x_n \end{pmatrix} \quad \vec{u} = \begin{pmatrix} u_1 \\ \vdots \\ u_m \end{pmatrix}$$

(*) ist kontrollierbar, falls für jedes \vec{x}_0 und jedes \vec{x}_f ein $\vec{u}(t)$ existiert, so dass $\vec{x}_f = \vec{x}(T)$ für $\vec{x}_0 = \vec{x}(0)$ ist, $T > 0$.

notwendige u. hinreichende Bedingung für Kontrollierbarkeit:

$$\text{Rang}(B, AB, \dots, A^{n-1}B) = n$$

$$(*) \quad \dot{\vec{x}} = \hat{A} \vec{x} + \hat{B} \vec{u}(t)$$

$$\text{Rank} (B, AB, A^2 B, \dots, A^{N-1} B) = N$$

Bedingung für Kontrolle

Beweisskizze:

$$\begin{aligned} x(t) = & \int_{t_0}^t e^{A(t-t')} B \vec{u}(t') dt' \\ & + e^{A(t-t_0)} \vec{x}(t_0) \end{aligned}$$

formale Lsg.
zu (*)

$$0 B dA \vec{x}(t_0) = 0$$

$$e^{A(t-t')} = \sum_{i=0}^{N-1} a_i A^i (t-t')^i$$

$$f(A) = \sum_{n=0}^{N-1} a_n \hat{A}^n = \sum_{n=0}^{N-1} a_n \hat{A}^n$$

↑
Satz von
Cayley-Hamilton

Satz von C.H.: jede quadr. Matrix ist Nullstelle
ihres charact. Polynoms: $P_F(A) = 0$

$$P_F(\lambda) = \det(\lambda I - \hat{A})$$

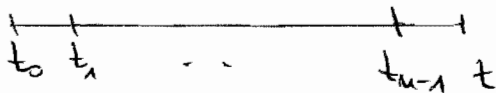
→ die Potenzen einer quadr. Matrix
spannen einen Unterraum des Vektorraums
aller quadr. Matrizen auf, der höchstens
die Dimension N hat

→ Matrix von Rang N hat nur N linear
unabh. Terme in Betrachtung

$$\vec{x}(t) = \int_{t_0}^t \sum_{i=0}^{N-1} \alpha_i A^i (t-t')^i B \vec{u}(t') dt'$$

$A^i B \vec{u}$ Vektoren bzw. Basis (Richtungen in \mathbb{R}^N)
 $i=0, \dots, N-1$

Betrachte endl. Zeitintervall $[t_0, t]$, zerlegt
 in N Unterintervalle



betrachte $\vec{u}(t_i)$ als unabh. Kontrollparameter

→ N unabh. $\vec{u}(t_i)$, mit denen jeder Punkt im
 Vektorraum, der durch die $\{A^i B \vec{u}\}$ aufgespannt
 wird, erreicht werden kann

Falls $\text{Rank}(B, AB, \dots, A^{N-1}B) = N$
 dann entspricht der UR der $\{A^i B \vec{u}\}$ dem
 gesamten VR

Anwendung auf 17) in 1. Ordnung
 Störungstheorie

$$| \psi_b^{(1)} \rangle = \frac{1}{i\hbar} \int_{t_0}^t e^{-i\hat{H}_0(t-t')} [-\hat{V} E(t')] \cdot e^{-iE_i(t'-t_0)} | \psi_i(t_0) \rangle dt'$$

Darstellung von \hat{H}_0 in endl. Basis der Dim N
 (Bsp Fourierspitze)

⇒ System kontrollierbar falls

$$\text{Rank} \left(\begin{bmatrix} | \varphi_i \rangle & H_b | \varphi_i \rangle & \dots & H_b^{N-1} | \varphi_i \rangle \end{bmatrix} \right) = 2N$$

d.h. N Basis fkt. + N unabh. $\vec{u}(t)$ können jeden beliebigen Zustand im Hilbertraum erzeugen (N -dim. Hilbertraum)

(B) betrachte ein System von DGL

$$\dot{\vec{x}}(t) = \left(A + \sum_{i=1}^M u_i(t) B_i \right) \vec{x}(t)$$

bilineare
kontrolle

$$A = -i \hat{H}_0 \quad B = -i \hat{H}_I$$

wg. Normerhalt $\|\alpha_1 x(t_1) + \alpha_2 x(t_2)\| \neq 1$

Beweis für \vec{x} nicht möglich

Stattdessen betrachte wir den Zeitentwicklungsoperator

$$\hat{U}(t) = \left(A + \sum_{i=1}^M u_i \hat{B}_i \right) \hat{U}(t) \quad \hat{U}(0) = 1$$

Beweisskizze:

$$1) \text{ schreibe } \hat{U}(t) = e^{\hat{C}t} \quad ; \quad \hat{C} = -\hat{C}^\dagger$$

\hat{C} hat N^2 unabhängige Parameter

N ~~reelle~~ ^{imag.} Diagonalelemente + $\frac{1}{2} N(N-1)$

komplexe Außerdiagonalelemente

$$\rightarrow U = \exp \left[\sum_{i=1}^{N^2} \alpha_i C_i \right]$$

C_i : lin. unabh. Matrizen mit $C_i = -C_i^T$
 (C_i : "Erzeugende")

\rightarrow können wir N^2 unabh. Koeffizienten α_i generieren und kontrollieren?

2) betrachte 2 Erzeugende B_1, B_2 ,
 wähle α_1, α_2 sodass

$$\begin{aligned} e^{\alpha_1 B_1 t} e^{\alpha_2 B_2 t} e^{-\alpha_1 B_1 t} e^{-\alpha_2 B_2 t} &= \\ &= 1 + [B_1, B_2] \alpha_1 \alpha_2 t^2 + o(t^3) \\ &= e^{[B_1, B_2] \alpha_1 \alpha_2 t^2} + o(t^3) \end{aligned}$$

\rightarrow neue Erzeugende $[B_1, B_2]$

d.h. Iteration von Kommutatoren liefert neue Erzeugende

3) Falls B_1 und B_2 unabh. kontrolliert werden können und die $\{C_i\}$, $i=1 \dots i_{\max}$ sich als Linearkombinationen von Kommutatoren von B_1 und B_2 darstellen lassen [d.h.

$\{C_i\} \in$ der von B_1 und B_2 erzeugten Algebra]

dann lässt sich jede unitäre op. schreiben als

$$\hat{U} = \exp \left[\sum_{i=1}^{i_{\max}} \alpha_i C_i \right]$$

Falls $i_{\max} = N^2$, dann lässt sich jede beliebige unitäre $N \times N$ -Matrix darstellen.

→ Die unitäre Zeitentwicklung \hat{U} eines N -Niveau-Systems ist vollständig kontrollierbar, falls die von $\{\hat{H}_0, \hat{H}_1, \dots\}$ erzeugte Algebra die Dimension N^2 aufweist.
g.e.d.

strenger Beweis:

Schirmer et al. PRA 63, 063410 (2000)

Bemerkungen

- (1) Für unendl.-dim. Systeme, nicht-unitäre Zeitentwicklung (dissipative) Systeme lässt sich i.A. nicht zeigen
- (2) Systeme mit unendl-, aber diskretes Spektrum sind kontrollierbar, falls die Kopplungs-Op. \hat{B} ; eine endliche-dimensionale Lie-Algebra generieren.

Bsp.: Rangan et al. PRL 92, 113004 (2004)

14.1.09

4.2 Zeit-lokale Steuerungstheorie

Kosloff PRL 69, 2172 (1992)

Gross PRA 47, 4593 (1993)

$$i \frac{\partial}{\partial t} | \psi \rangle = \underbrace{[\hat{H}_0 - \hat{\mu} E(t)]}_A | \psi \rangle$$

Steuerung = Lösen des inversen Problems

Messung $y(t) = \langle \psi(t) | \hat{A} | \psi(t) \rangle$

Input : $E(t)$

deterministische Abb. $E(t) \rightarrow y(t)$

Output : $y(t)$

inverses Problem : bestimme $E(t)$, das $y(t)$ liefert

betrachte Änderung der gewünschten Größe

Annahme $\hat{A}(t) = \hat{A}$

$$\frac{d}{dt} \langle \hat{A} \rangle = \left\langle \frac{d\psi}{dt} | \hat{A} | \psi \right\rangle + \left\langle \psi | \hat{A} | \frac{d\psi}{dt} \right\rangle$$

$$= i \langle \psi(t) | [\hat{H}, \hat{A}]_- | \psi(t) \rangle$$

$$= i \langle [\hat{H}, \hat{A}]_- \rangle$$

Heisenberg-Gleichung

$$[\hat{A}, \hat{A}]_- = [\hat{A}_0, \hat{A}]_- - E(t) [\hat{A}, \hat{A}]_-$$

(a) angenommen, $[\hat{A}_0, \hat{A}]_- \approx 0$

$$\frac{d}{dt} \langle \hat{A} \rangle = -i E(t) \langle \psi(t) | [-\hat{A}, \hat{A}] | \psi(t) \rangle$$

$$E(t) = \begin{cases} +\lambda \\ -\lambda \end{cases} i \langle \psi(t) | [-\hat{A}, \hat{A}]_- | \psi(t) \rangle$$

$$\text{für } \begin{cases} \frac{d}{dt} \langle \hat{A} \rangle \geq 0 \\ \frac{d}{dt} \langle \hat{A} \rangle \leq 0 \end{cases}$$

λ Gewicht, $\lambda(t)$ Einhüllende

$$\frac{d}{dt} \langle \hat{A} \rangle = \pm \lambda (i \langle \psi(t) | [-\hat{A}, \hat{A}]_- | \psi(t) \rangle)^2$$

(b) angenommen, $[\hat{H}_0, \hat{A}]_- \neq 0$

$$E(t) = \lambda \frac{\langle \psi(t) | [\hat{H}_0, \hat{A}] | \psi(t) \rangle}{\langle \psi(t) | [-\hat{\mu}, \hat{A}] | \psi(t) \rangle}$$

mit

(i) $\lambda > -1$ falls $\langle \psi(t) | [\hat{H}_0, \hat{A}] | \psi(t) \rangle > 0$
 $\lambda < -1$ falls $\langle \psi(t) | [\hat{H}_0, \hat{A}] | \psi(t) \rangle < 0$

für $\frac{d}{dt} \langle \hat{A} \rangle \geq 0$

(ii) $\lambda = -1$ für $\frac{d}{dt} \langle \hat{A} \rangle = 0$

(iii) $\lambda \leq -1$ für $\frac{d}{dt} \langle \hat{A} \rangle \leq 0$
 $\lambda \geq -1$

Beispiele

(1) Zustandstransfer Zielzustand $|\psi_0\rangle$
 $\hat{A} = \hat{P}_0 = |\psi_0\rangle\langle\psi_0|$

$$[\hat{A}, \hat{P}_0]_- = E(t) [-\hat{\mu}, \hat{P}_0]$$

$$\frac{d}{dt} \langle \hat{P}_0 \rangle = i E(t) \left(-\langle \psi(t) | \hat{\mu} | \psi_0 \rangle \langle \psi_0 | \psi(t) \rangle + \langle \psi(t) | \psi_0 \rangle \langle \psi_0 | \hat{\mu} | \psi(t) \rangle \right)$$

$$= 2 E(t) \text{Im} \left[\langle \psi(t) | \hat{\mu} | \psi_0 \rangle \langle \psi_0 | \psi(t) \rangle \right] \geq 0$$

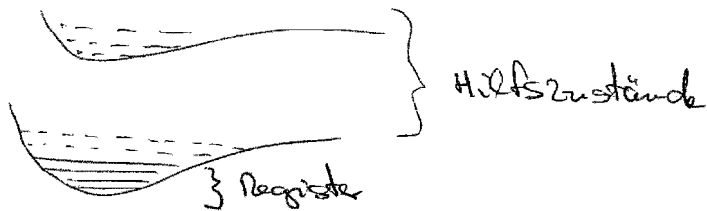
$$E(t) = + \lambda \text{Im} \left[\langle \psi(t) | \hat{\mu} | \psi_0 \rangle \langle \psi_0 | \psi(t) \rangle \right]$$

falls $\langle \psi(t) | \psi_0 \rangle = 0$: man benötigt einen Seed-Puls
 Zeitpunkte kann erzwingen werden, indem $\lambda = \lambda(t)$

(2) Unitäre Transformation

Sklarz + Tannor Chem. Phys. 322, 87 (2006)

a) mol. QC



$$\mathcal{H} = \mathcal{H}_R \oplus \mathcal{H}_{aux}$$

$$\hat{H} = \hat{H}_0 - \mu [E(t) + E^*(t)]$$

Bedingung: in $[0, T]$ soll das System eine Zustatsentwicklung durchlaufen, dass $\hat{U}(T, 0)$ der gewünschten Operation \hat{O} entspricht

$$J = \left| \text{Tr} [\hat{Q}_R^+ \hat{U}_R(t)] \right|^2 \text{ Kontrollfunktion}$$

$$\hat{U}_R = \hat{P}_R \hat{U} \hat{P}_R \quad \hat{Q}_R^+ = \hat{P}_R$$

Projektionsop. auf Registerzustände

Problem: $\hat{\mu} E(t)$ koppelt Registerzustände an Hilfszustände, aber Besetzung des Registers soll erhalten bleiben

$$\rightarrow C(t) = \text{Tr} [\hat{U}_R^+ \hat{U}_R(t)] \leq N_R$$

N_R : Zahl der Registerzustände

$C(t)$ gibt Maß für Abweichung von unitärer
Zeitentwicklung im Unterraum der Registerzustände \mathcal{H}_R

lokale Steuerung: $\frac{dS}{dt} \geq 0$ $\frac{dC}{dt} = 0$

$$\frac{dC}{dE} = \frac{d}{dE} \text{Tr} [\hat{U}_R^\dagger U_R] = 2 \text{Re} [\text{Tr} [\hat{U}_R^\dagger \hat{P}_R \frac{1}{i} \hat{H}_I \hat{U} \hat{P}_R]]$$

\uparrow
 $\frac{d\hat{U}}{dE} = \hat{H}\hat{U}$
 $\frac{dU_R}{dE} = \hat{P}_R \hat{H} \hat{U} \hat{P}_R$

benutzt: $H = H_0 - \mu (E + E^*)$

$$H_E = -\mu_I (E + E^*) ; \mu_I = e^{iH_0 t} \mu e^{-iH_0 t}$$

$$\frac{dC}{dE} = 2 \text{Im} [\text{Tr} (\hat{U}_R^\dagger \hat{P}_R \mu_I \hat{U} \hat{P}_R) E(t) + \text{Tr} (\hat{U}_R^\dagger \hat{P}_R \mu_I^\dagger \hat{U} \hat{P}_R) E^*(t)]$$

$$= 2 \text{Im} [\text{Tr} (\hat{P}_R \hat{U}^\dagger \mu_I \hat{P}_R U_R) E(t)]$$

$$= 2 \text{Im} [g \cdot E(t)] \stackrel{!}{=} 0$$

$$g = \text{Tr} (U_R^\dagger \hat{P}_R \mu_I \hat{U} \hat{P}_R - \hat{P}_R \hat{U}^\dagger \mu_I \hat{P}_R \hat{U}_R)$$

\Rightarrow Bedingung erfüllt für $E(t) = \alpha \frac{g^*}{|g|} \quad \alpha \in \mathbb{R}$

$$\frac{dS}{dE} = \frac{d}{dE} |\text{Tr} [\hat{O}_R^\dagger \hat{U}_R]|^2 - 2 \text{Re} [\gamma^* \frac{d}{dE} \text{Tr} [\hat{O}_R^\dagger U_R]]$$

$$\gamma^* = \text{Tr} [\hat{O}_R^\dagger U_R]$$

$$= 2 \text{Re} [\gamma^* \text{Tr} [\hat{O}_R^\dagger \hat{P}_R \frac{1}{i} \hat{H}_I \hat{U} \hat{P}_R]]$$

$$= 2 \alpha \text{Re} [f \frac{g^*}{|g|}] > 0$$

$\text{Tr}(A) = \text{Tr}(A^\dagger)$
Zähl Inv.
der Spur

$$f = \frac{1}{i} \text{Tr} [\eta^* \hat{O}_R^+ \hat{P}_R \hat{M}_I \hat{U} \hat{P}_R - \eta \hat{P}_R \hat{U}^+ \hat{M}_I \hat{P}_R \hat{O}_R^+]$$

Bedingung erfüllt für

$$\alpha = \text{Re} [f g^*] \quad \rightarrow \quad \frac{d\delta}{dE} = \frac{2\kappa^2}{|g|} \geq 0$$

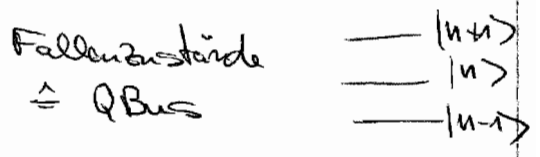
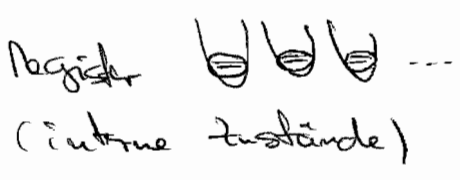
$$= f \cdot g \quad (\text{Skalarprodukt})$$

$$\rightarrow \boxed{E(E) = (f \cdot g) \frac{g^*}{|g|}}$$

Bemerkung: f, g abhängig von \hat{U}

$$\rightarrow (\text{numerisches}) \text{ Lösen der SG} : \frac{\partial \hat{U}}{\partial E} = \hat{H}_I \hat{U}$$

b) QC mit gefangenen Ionen



$$\mathcal{H} = \mathcal{H}_R \otimes \mathcal{H}_{\text{Bus}} \quad \text{Produkt Raum, Liouville-Raum}$$

\rightarrow muss $\hat{\rho}$ betrachten

$$\text{Liouville-Raum} : \hat{\rho} \rightarrow |\rho\rangle\rangle \quad \text{Vektor}$$

$$[\hat{H}, \cdot] \rightarrow \mathcal{H} \quad (\text{Super}) \text{Op.}$$

Einführung in Liouville-Raum

Shaul Mukamel: Principles of nonlinear optics + spectroscopy Kap. 2

$$|e(t)\rangle\rangle = U |e(0)\rangle\rangle$$

$$\dot{U} = -i \mathcal{H} U \quad U(0) = 1$$

$$\hat{P}_R = \text{Tr}_{\text{Bus}} [\hat{p}] \quad \text{partielle Spur} \quad [\text{Hilber-Raum}]$$

$$P_R = 1_R \otimes N_{\text{Bus}} |1_{\text{Bus}}\rangle\rangle \langle\langle 1_{\text{Bus}}|$$

$$\rightarrow |p_R\rangle\rangle = N_{\text{Bus}} \langle\langle 1_{\text{aux}} | p \rangle\rangle$$

Bedingung: \hat{p} soll separabel bleiben

$$\hat{p} = \hat{p}_R \otimes \hat{p}_{\text{Bus}} \quad (\text{keine Verschränkung zw. } \hat{p}_R \text{ und } \hat{p}_{\text{Bus}})$$

$$|e\rangle\rangle = |e_R\rangle\rangle |e_{\text{Bus}}\rangle\rangle$$

$$\begin{aligned} \langle\langle e(0) | P_R | e(0) \rangle\rangle &= \langle\langle e(t) | P_R | e(t) \rangle\rangle = \text{const} \\ &= \langle\langle e(0) | U^\dagger(t) P_R U(t) | e(0) \rangle\rangle \end{aligned}$$

$$U^\dagger P_R U = P_R \quad \rightarrow \quad [P_R, U]_- = 0$$

$$\| [P_R, U]_- \| = 0 = \text{Tr} ([P_R, U]_-^\dagger [P_R, U]_-)$$

$$= 2 \text{Tr} (P_R) - 2 \text{Tr} (P_R U^\dagger P_R U)$$

$$\text{Tr} (P_R) = N_R^2 - c(t)$$

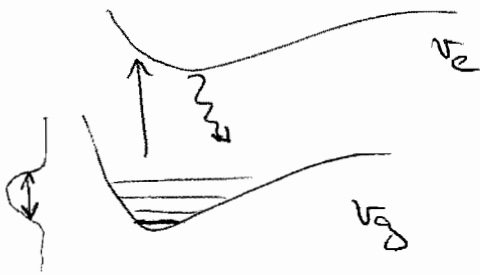
$$\begin{aligned} c &= \text{Tr} (P_R U^\dagger P_R U) = \text{Tr} (P_R U^\dagger P_R P_R U P_R) \\ &= \text{Tr} (U_R^\dagger U_R) \end{aligned}$$

analog:

$$\gamma = |\text{Tr}(\sigma_R u_R)|^2$$

$$\rightarrow \boxed{E(t) = (\mathcal{F} \cdot \gamma) \frac{e_g^*}{|\gamma|}}$$

(3) Laserkühlung von Molekülen (Schwingungsfreiheitsgrad)



dissipative Dynamik
(notwendige Bed. für
Kühlen: echte Entropie-
änderung $\Delta S > 0$)

$$\frac{\partial \hat{\rho}}{\partial t} = -i [\hat{H}, \hat{\rho}] + \hat{\mathcal{L}}_0(\hat{\rho})$$

$$\hat{\mathcal{L}}_0(\hat{\rho}) = \hat{F} \hat{\rho} \hat{F}^\dagger - \frac{1}{2} [\hat{F}^\dagger \hat{F}, \hat{\rho}] -$$

Lindblad-Form von $\hat{\mathcal{L}}_0$

$$\hat{F} = \hat{\Gamma}(R) \otimes \hat{\sigma}_-$$

Elektronischer Zustand: $\hat{\sigma}_- = \begin{pmatrix} 0 & 1 \\ 0 & 0 \end{pmatrix}$

$$\hat{\Gamma}(R) = \gamma (\hat{V}_e(R) - \hat{V}_g(R))^{\frac{1}{2}}$$

Ziel: Besetzung von $v=0$ in $V_g \hat{=} |0\rangle\langle 0| \otimes \hat{\rho}_g$
 $= |0\rangle\langle 0| \otimes |g\rangle\langle g|$

$$(i) \frac{d}{dt} \langle |0\rangle\langle 0| \otimes \hat{\rho}_g \rangle = i \langle [\hat{H}, |0\rangle\langle 0| \otimes \hat{\rho}_g] \rangle + \langle \hat{\mathcal{L}}_0(|0\rangle\langle 0| \otimes \hat{\rho}_g) \rangle$$

$$= 0$$

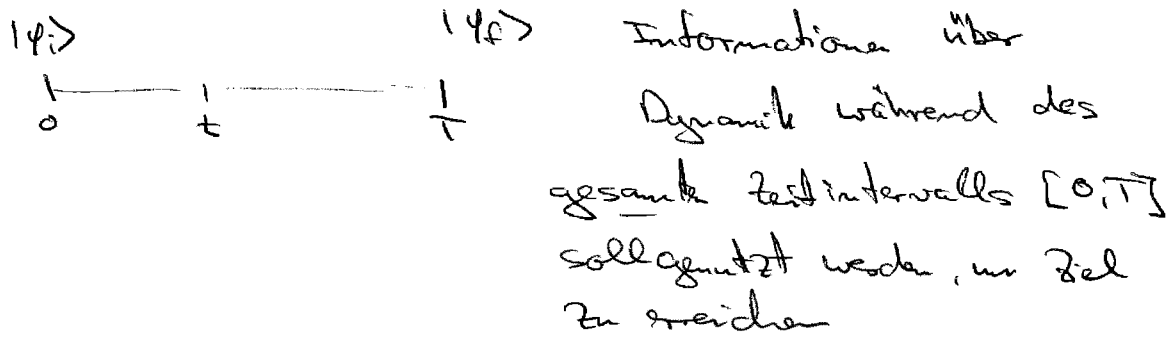
alles wird weggepumpt, außer der Zielzustand

(ii) maximales Kühlen durch max. Anregung

$$\frac{d}{dt} \langle \hat{p}_y \rangle < 0$$

siehe: Bardana, Kosloff, Tamar
Chem. Phys. 257, 195 (2001)

4.3 Zeit-globale Steuerungstheorie (OCT)



$$F = |\langle \psi_f | \hat{U}^\dagger(T, 0, E(t)) | \psi_i \rangle|^2$$

$$= F[E(t)] \quad \text{Funktional des Feldes } E(t)$$

=> Variationsansatz : 2 Möglichkeiten

a) Variationsansatz + "Rate"
Zhu, Bobina, Rabitz
J Chem Phys 118, 1953 (1998)

b) Krotov - Methode
Sklyar + Tamar PRA 66, 053019 (2002)
Palao + Kosloff PRA 68, 062308 (2003)

Zu a):

- (1) "errate" das korrekte Funktional
- (2) frühe Variation aus, um Bewegungsgl. u. Og. für $E(t)$ zu erhalten
- (3) "errate" ein sinnvolles Iterationsschema, sodass das Verfahren konvergiert

zu b)

(1) bestimme "Zielfunktion"

$$F[\psi(t)] + \text{Bewegungsgl.} + \text{Randbedingung}$$

$$\mathcal{J} = F + \mathcal{J}_c = \mathcal{J}[\psi, \psi^*, E]$$

(2) konstruiere Hilfsfunktional

$$L[\psi, \psi^*, E, \phi] = \mathcal{J}[\psi, \psi^*, E]$$

wähle $\phi(t, \psi, \psi^*)$ so dass

$$L[\psi_j, \psi_j^*, E_j, \phi] \leq L[\psi_{j+1}, \psi_{j+1}^*, E_{j+1}, \phi]$$

→ monotone Konvergenz garantiert

(3) bestimme $E(t)$ über Minimierung / Maximierung von L

Genauere Betrachtung von a)

$$(1) \mathcal{J} = F + 2 \operatorname{Re} \left[\int_0^T dt \langle x(t) | -\frac{d}{dt} + i\hat{H} | \psi(t) \rangle \right] - \lambda(t) \int_0^T dt |\psi(t)|^2$$

- mit $F = \langle \psi(T) | \hat{A} | \psi(T) \rangle$; \hat{A} : Ziel-Op.
- $\langle x(t) |$ Lagrange-Multiplikator, der Einhaltung der SG erzwingt
- $\lambda(t)$ = sinnvolles Ein/Ausschalten

$$\mathcal{J} = F - 2 \operatorname{Re} \left[\langle x | \psi \rangle \Big|_0^T \right] + 2 \operatorname{Re} \int_0^T dt \left[\langle x(t) | \hat{H} | \psi \rangle + \langle x | \psi \rangle \right] - \lambda(t) \int_0^T dt |\psi(t)|^2$$

(2) \mathcal{J} hat Extremum für $\delta \mathcal{J} = 0$

$$\delta = \delta [|\psi(t)\rangle, |\psi(T)\rangle, E(t)]$$

da $|\psi(t)\rangle, |\psi(T)\rangle, E(t)$ unabhängig

$$\begin{aligned} \rightarrow \delta \delta = 0 &= \delta_{|\psi(t)\rangle} \delta \\ &= \delta_{|\psi(T)\rangle} \delta \\ &= \delta_{E(t)} \delta \end{aligned}$$

$$\begin{aligned} \delta \delta &= 2 \operatorname{Re} [\langle \psi(T) | \hat{A} | \delta \psi(T) \rangle] - 2 \operatorname{Re} [\langle \chi(T) | \delta \psi(T) \rangle] \\ &+ 2 \operatorname{Re} \int_0^T dt \left\{ \langle -\frac{1}{i} \hat{H} \chi(t) | \delta \psi(t) \rangle + \langle \dot{\chi}(t) | \delta \psi(t) \rangle \right\} \\ &+ 2 \operatorname{Re} \int_0^T dt \left\{ \langle \chi(t) | -\frac{1}{i} \hat{\mu} | \psi(t) \rangle \delta E(t) \right. \\ &\quad \left. - \chi(t) \approx \int_0^T dt E(t) \delta E(t) \right\} \end{aligned}$$

$$\delta_{|\psi(t)\rangle} \delta = 0 \Leftrightarrow i \frac{\partial}{\partial E} |\chi\rangle = \hat{H} |\chi\rangle$$

$$\delta_{|\psi(T)\rangle} \delta = 0 \Leftrightarrow |\chi(T)\rangle = \hat{A} |\psi(T)\rangle \quad \text{"Anfangs"beding.}$$

$$\text{physikal. Lösungen} \Leftrightarrow i \frac{\partial}{\partial E} |\psi\rangle = \hat{H} |\psi\rangle$$

$$|\psi(0)\rangle = |\psi_i\rangle$$

$$\delta_{E(t)} \delta = 0 \Leftrightarrow \left[E(t) = \frac{i}{\chi(t)} \langle \chi(t) | \hat{\mu} | \psi(t) \rangle \right.$$

$$\left. = -\frac{1}{\chi(t)} \operatorname{Im} [\langle \chi(t) | \hat{\mu} | \psi(t) \rangle] \right]$$

\rightarrow zweiseitiges Grenzwertproblem

- Vorwärtspropagation $|\psi(0)\rangle = |\psi_i\rangle \rightarrow |\psi(t)\rangle$

- Rückwärtspropagation $|\chi(t)\rangle \leftarrow |\chi(T)\rangle = \hat{A} |\psi(T)\rangle$

28.1.09

aber: Satz gekoppelter nichtlinearer glg.

$$i \frac{\partial}{\partial E} |\psi(t)\rangle = \hat{H} [E(t)] |\psi(t)\rangle$$

$$i \frac{\partial}{\partial E} |\chi(t)\rangle = \hat{H} [E(t)] |\chi(t)\rangle$$

$$E(t) = -\frac{1}{\chi(t)} \operatorname{Im} [\langle \chi(t) | \hat{\mu} | \psi(t) \rangle]$$

\rightarrow iterativ lösen

(3) Initialisierung des iterativen Verfahrens

$\tilde{E}(t)$ guess pulse

$$i\frac{\partial}{\partial t} |\chi^{(0)}\rangle = \hat{H}[\tilde{E}(t)] |\chi^{(0)}\rangle$$

$$i\frac{\partial}{\partial t} |\psi^{(1)}\rangle = \hat{H}[E^{(1)}(t)] |\psi^{(1)}\rangle$$

$$E^{(1)}(t) = -\frac{1}{\lambda(t)} \text{Im} [\langle \chi^{(0)} | \mu | \psi^{(1)} \rangle]$$

• alle weiteren Schritte $j=1, 2, \dots$

$$i\frac{\partial}{\partial t} |\chi^{(j)}\rangle = \hat{H}[E^{(j)}(t)] |\chi^{(j)}\rangle$$

$$\tilde{E}^{(j)} = -\frac{1}{\lambda(t)} \text{Im} [\langle \chi^{(j)} | \mu | \psi^{(j)} \rangle]$$

$$i\frac{\partial}{\partial t} |\psi^{(j+1)}\rangle = \hat{H}[E^{(j+1)}(t)] |\psi^{(j+1)}\rangle$$

$$E^{(j+1)}(t) = -\frac{1}{\lambda(t)} \text{Im} [\langle \chi^{(j)} | \mu | \psi^{(j+1)} \rangle]$$

Bemerkungen

(1) Monotone Konvergenz des Algorithmus lässt sich durch Betrachtung des Funktionals $J^{(0)}, J^{(1)}, \dots$ zeigen (Übung 7)

(2) Das Verfahren lässt sich leicht auf die Optimierung unitärer Transformationen verallgemeinern:

$$F = \frac{1}{2} \langle \psi(T) | \hat{A} | \psi(T) \rangle \rightarrow \text{Tr} [\hat{\sigma} + u(T, 0)]$$

$$E(t) = -\frac{1}{\lambda(t)} \text{Im} \left[\sum_k \langle \psi_k | \hat{\sigma} + \hat{u}(t, T) \hat{\mu} \hat{u}(t, 0) | \psi_k \rangle \right]$$

(3) Die Konvergenzeigenschaften des Algorithmus sind abhängig von der Form des Funktionals. In der Krylov-Methode lässt sich zeigen, dass monotone Konvergenz bestimmte Bedingungen an die Gewichte λ der J entspricht.

- (4) In den bisher bekannten Algorithmen geht monotone Konvergenz verloren, wenn man Bedingungen gleichzeitig an die zeitliche und an die spektrale Form des Feldes stellt

Teil II: Einführung in die Quantoptik

5.1 Quantisierung des elektromagnetischen Feldes

Literatur: Skript (Fabre)
Haroche Raimond Exploring the quantum

Erinnerung an VL 15.10. Beschreibung des el. mag. Feldes durch Vektorpot. $\vec{A}(\vec{r}, t)$ $\vec{E} = -\frac{\partial \vec{A}}{\partial t}$

$$\vec{A}(\vec{r}, t) = \int_{-\infty}^{\infty} \vec{A}(\vec{r}, \omega) e^{-i\omega t} \frac{d\omega}{2\pi}$$

$$\vec{A}(\omega) = \vec{A}^*(-\omega) \quad \leftarrow \text{redundante Information}$$

Redundanz kann beseitigt werden \rightarrow komplexes Signal $\vec{A}^+(\vec{r}, t) = \int_0^{\infty} \vec{A}(\vec{r}, \omega) \cdot e^{-i\omega t} \frac{d\omega}{2\pi}$

betrachte Würfel der Länge L

$$\vec{A}^+(\vec{r}, t) = \sum_{\vec{k}} A_{\vec{k}}(t) \vec{E}_{\vec{k}} e^{i\vec{k}\vec{r}}$$

$\vec{k} = (k_x, k_y, k_z)$
 $s = \pm$ Polarisationsrichtungen

$$A_{\vec{k}}(t) = \frac{1}{L^3} \int_V d^3r \vec{A}^+(\vec{r}, t) \cdot \vec{E}_{\vec{k}} e^{i\vec{k}\vec{r}}$$

räumliche Fouriertransf.

period. Randbedingungen: $k_x = n_x \frac{2\pi}{L}$
ebenso für k_y, k_z

- Maxwell-Gl. in Coulomb-Feldung

$$\Delta \vec{A}^+ - \frac{1}{c^2} \frac{\partial^2 \vec{A}^+}{\partial t^2} = 0 \quad \vec{\nabla} \cdot \vec{A}^+ = 0$$

$$\rightarrow \frac{d^2 A_e}{dt^2} = -\omega_e^2 A_e \quad \omega_e = c |\vec{k}_e|$$

$$A_e(t) = A_e'(t) e^{-i\omega_e t}$$

$$\rightarrow \boxed{i \frac{dA_e}{dt} = \omega_e A_e(t)} \quad (*)$$

- physikal. Größen $\vec{E}(\vec{r}, t) = \vec{E}^+(\vec{r}, t) + \vec{E}^{+*}(\vec{r}, t)$

$$\vec{E}^+(\vec{r}, t) = -i \sum_{\vec{k}} \omega_{\vec{k}} A_{\vec{k}}(t) \vec{e}_{\vec{k}} e^{i\vec{k} \cdot \vec{r}}$$

$$\vec{B}^+(\vec{r}, t) = i \sum_{\vec{k}} \vec{k} \times \vec{e}_{\vec{k}} A_{\vec{k}}(t) e^{i\vec{k} \cdot \vec{r}}$$

Energie des Feldes

$$H = \frac{\epsilon_0}{2} \int_V d^3r (E^2 + c^2 B^2) = 2\epsilon_0 L^3 \sum_{\vec{k}} \omega_{\vec{k}}^2 |A_{\vec{k}}|^2$$

- Quantisierung

Hamilton-Jacobi-Gl. für kanonisch konjugierte Variable

$$\frac{d}{dt} q_i = - \frac{\partial H}{\partial p_i} \quad \frac{d}{dt} p_i = - \frac{\partial H}{\partial q_i}$$

$$\{q_i(t), p_j(t)\} \rightarrow [\hat{q}_i, \hat{p}_j]_- = i\hbar \delta_{ij}$$

gewohnte Quantisierung der klassischen Mechanik

was sind die kanonisch konjugierte Variable in unserem Fall?

$$A_x(t) = A_{Qx}(t) + i A_{Px}(t)$$

$$H = 2 \epsilon_0 L^3 \sum_x \omega_x^2 (A_{Qx}^2 + A_{Px}^2)$$

$$\frac{d}{dt} A_{Qx} = -\omega_x A_{Px} = -\frac{1}{4 \epsilon_0 L^3 \omega_x} \frac{\partial H}{\partial A_{Px}}$$

$$\frac{d}{dt} A_{Px} = \omega_x A_{Qx} = \frac{1}{4 \epsilon_0 L^3 \omega_x} \frac{\partial H}{\partial A_{Qx}}$$

→ kanonisch konjugierte Variable

$$q_x(t) \leftrightarrow 2 \sqrt{\epsilon_0 L^3 \omega_x} A_{Qx}$$

$$p_x(t) \leftrightarrow 2 \sqrt{\epsilon_0 L^3 \omega_x} A_{Px}$$

$$\rightarrow [\hat{q}_x, \hat{p}_x]_- = i \hbar \delta_{xx}$$

$$\boxed{[\hat{A}_{Qx}, \hat{A}_{Px}]_- = \frac{i \hbar}{4 \epsilon_0 \omega_x L^3} \delta_{xx}}$$

$$\hat{A}_x = \sqrt{\frac{\hbar}{2 \epsilon_0 \omega_x L^3}} \hat{a}_x$$

$$\hat{A}_x = \hat{A}_{Qx} + i \hat{A}_{Px} \rightarrow [\hat{A}_x, \hat{A}_x^+] = \frac{\hbar}{2 \epsilon_0 \omega_x L^3} \delta_{xx}$$

$$\boxed{[\hat{a}_x, \hat{a}_x^+] = \delta_{xx}}$$

$$\hat{A}^+(\vec{r}) = \sum_x \sqrt{\frac{\hbar}{2 \epsilon_0 \omega_x L^3}} \hat{a}_x \vec{E}_x e^{i \vec{k} \cdot \vec{r}}$$

$$\hat{H} = 2 \epsilon_0 L^3 \sum_x \omega_x^2 (\hat{A}_{Qx}^2 + \hat{A}_{Px}^2) = \epsilon L^3 \sum_x \omega_x (\hat{A}_x \hat{A}_x^+ + \hat{A}_x^+ \hat{A}_x)$$

$$\rightarrow \hat{H} = \sum_x \hbar \omega_x (\hat{a}_x^+ \hat{a}_x + \frac{1}{2})$$

2 unabhängige lineare Oszillatoren

$q, p \hat{=} \text{Real, imag. -Teil der räumliche FT von } \vec{A}^+$

$$\text{analog } q_e \leftrightarrow 2 \sqrt{\frac{\epsilon_0 L^3}{\omega_e}} E_{pe}$$

$$p_e \leftrightarrow 2 \sqrt{\frac{\epsilon_0 L^3}{\omega_e}} E_{pe}$$

Fourierkomponenten
des el. Feldes

$$\hat{n}_e = \hat{a}_e^+ \hat{a}_e \text{ Besetzungszahl-op.}$$

$$\hat{n}_e |n_e\rangle = n_e |n_e\rangle \quad n_e \in \mathbb{N}$$

$$\begin{aligned} \rightarrow \text{EZ von } \hat{H} \hat{=} \text{Tensorprodukt } |n_1\rangle \otimes \dots \otimes |n_e\rangle \otimes \dots \\ = |n_1 \dots n_e \dots \rangle \end{aligned}$$

$$\hat{H} |n_1 \dots n_e \dots \rangle = \sum_x \hbar \omega_x (n_x + \frac{1}{2}) |n_1 \dots n_x \dots \rangle$$

\hookrightarrow enthält n_1 Photonen in Mode 1
 \vdots
 \vdots
 \vdots
 n_e Photonen in Mode n_e Fock-Zustand

Photonen in verschiedenen Basen

ebene Welle = gleiche Amplitude überall in $V = L^3$

$$\hat{b}_m^+ = \sum_x u_m^x \hat{a}_e^+ \quad [\hat{b}_m, \hat{b}_m^+]_- = \delta_{m,m'}$$

$\hat{b}_m^+ \hat{b}_m$ Besetzungszahl-op. für andere Art von
Photonen

$$\hat{a}_e = \sum_m u_m^x \hat{b}_m$$

$$\rightarrow \vec{A}^+ = \sum_m \hat{b}_m \vec{V}_m(\vec{r})$$

$$\vec{V}_m(\vec{r}) = \sum_x \sqrt{\frac{A}{2\epsilon_0 L^3 \omega_e}} u_m^x \vec{e}_x e^{i\vec{k} \cdot \vec{r}}$$

$\{ \vec{V}_m(\vec{r}) \}$ Basis, in die koppel. Feld entwickelt wird;
nicht notwendig orthogonal

$$\hat{b}_m^+ \hat{b}_m | \vec{V}_m; n_m \rangle = n_m | \vec{V}_m; n_m \rangle$$

n_m Photonen der Art \vec{V}_m

(a) Invarianz des Vakuums

$$|0\rangle = |n_1=0 \dots n_2=0 \dots\rangle$$

$$\Rightarrow \hat{a}_\ell |0\rangle = 0 \cdot |0\rangle \quad \forall \ell$$

$$\rightarrow \hat{b}_m |0\rangle = 0 \quad \forall m$$

\rightarrow unitäre Transf. ändert Photonenzahl nicht

(b) Zustandswechsel

$$| \vec{V}_m; n_m \rangle = \frac{1}{\sqrt{n_m!}} (\hat{b}_m^+)^{n_m} |0\rangle = \frac{1}{\sqrt{n_m!}} \left(\sum_{\ell} U_{m\ell} \hat{a}_\ell^+ \right)^{n_m} |0\rangle$$

$$| \vec{V}_m; 1 \rangle = \hat{b}_m^+ |0\rangle = \sum_{\ell} U_{m\ell} \hat{a}_\ell^+ |0\rangle$$

$$= \sum_{\ell} U_{m\ell} |n_\ell=1\rangle$$

(c) Invarianz der Photonenzahl

$$\hat{N} = \sum_m \hat{b}_m^+ \hat{b}_m = \sum_{\ell} \hat{a}_\ell^+ \hat{a}_\ell$$

(d) Energie

$$\hat{H} = \sum_{m\ell} \epsilon_{m\ell} \hat{b}_m^+ \hat{b}_m \quad \text{i. A. nicht diagonal}$$

nicht alle Modi sind Eigenmoden

hinreichende Bedingungen für Erhalt d. Eigenmoden

$$U_m^e = 0 \quad \text{falls } \omega_p \neq \omega_m$$

→ nur Mode mit gleicher Frequenz werden gemischt

$$\rightarrow \hat{A}^+(\vec{r}) = \sum_m \sqrt{\frac{\hbar}{2\epsilon_0 \omega_m}} \hat{b}_m \vec{v}_m(\vec{r})$$

$$\vec{v}_m(\vec{r}) = \sum_{\vec{r}} \sqrt{\frac{1}{L^3}} U_m^e \vec{e} e^{i\vec{k}\vec{r}}$$

↑ kein ω -Abhängigkeit

→ die $\vec{v}_m(\vec{r})$ stellen ein vONS dar.

$$\int d^3r \vec{v}_m(\vec{r}) \vec{v}_n^*(\vec{r}) = \delta_{mn}$$

$$\sum_m \vec{v}_m(\vec{r}) \vec{v}_m^*(\vec{r}') = \delta(\vec{r} - \vec{r}')$$

$$\rightarrow \hat{H} = \sum_m \hbar \omega_m \left(\hat{b}_m^+ \hat{b}_m + \frac{1}{2} \right)$$

Beispiel zu Moden

I) Eigenmoden

• stehende Wellen $\hat{b}_{m\pm}^+ = \frac{1}{\sqrt{2}} (\hat{a}_{k=m}^+ \pm \hat{a}_{k=-m}^+)$

$$\rightarrow \vec{v}_{m+}(\vec{r}) = \frac{1}{\sqrt{2L^3}} (e^{ik_m z} + e^{-ik_m z})$$

$$= \sqrt{\frac{2}{L^3}} \cos(k_m z)$$

$$v_{m-}(\vec{r}) = \dots = \sqrt{\frac{2}{L^3}} \sin(k_m z)$$

- Kugelwellen \rightarrow Ausbreitung
- Laguerre - Gauß - Moden TEM_{lm} Zustände mit def. Drehimpuls
- Hermite - Gauß - Moden

II) andere Moden

- gepulste Moden
- Photonen im Frequenzkamm

Feldobservablen

- Impuls
$$\begin{aligned}\vec{P} &= \epsilon_0 \int_V d^3r \vec{E}(\vec{r}, t) \times \vec{B}(\vec{r}, t) \\ &= 2\epsilon_0 L^3 \sum_k \omega_k |\hat{A}_k|^2 \vec{k}_k \\ &= \sum_k \hbar \vec{k}_k \hat{a}_k^\dagger \hat{a}_k\end{aligned}$$

(nur) in der Basis hat ein Photon der Mode k den Impuls \vec{k}_k

- Drehimpuls
$$\begin{aligned}\vec{J} &= \epsilon_0 \int_V d^3r \vec{r} \times (\vec{E} \times \vec{B}) \\ &= L + S\end{aligned}$$

5.2 Photonenzustände

A) Fock - Zustände

$$\hat{a}_x^+ \hat{a}_x |n_x\rangle = n_x |n_x\rangle$$

$$|n_x\rangle = \frac{1}{\sqrt{n_x!}} (\hat{a}_x^+)^{n_x} |0\rangle \quad n_x = 0, 1, \dots$$

ONS

$$\langle n_x | n_x' \rangle = \delta_{n_x n_x'}$$

$$\sum_{n_x=0}^{\infty} |n_x\rangle \langle n_x| = 1$$

B) Kohärente Zustände (Nobelpreis 2005)

$$|\alpha\rangle = e^{-\frac{|\alpha|^2}{2}} \sum_{n=0}^{\infty} \frac{\alpha^n}{\sqrt{n!}} |n\rangle \quad ; \quad \alpha \in \mathbb{C}, \alpha \neq 0$$

$$|\alpha\rangle = \hat{D}(\alpha) |0\rangle \quad \text{mit} \quad \hat{D}(\alpha) = e^{\alpha \hat{a}^+ - \alpha^* \hat{a}}$$

unitärer Verschiebeoperator

Eigenschaften:

- $\langle \alpha | \alpha \rangle = 1$
- $\langle \beta | \alpha \rangle \neq 0$
- $\hat{a} |\alpha\rangle = \alpha |\alpha\rangle$
 $\langle \alpha | \hat{a}^+ = \alpha^* \langle \alpha |$
- $\frac{1}{4} \langle \alpha | [\hat{p}, \hat{q}] | \alpha \rangle = \frac{\hbar}{4}$ minimale Unschärfe
- $P(n) = |\langle n | \alpha \rangle|^2 = \frac{|\alpha|^{2n}}{n!} e^{-|\alpha|^2}$

Kohärenter Zustand = Analogon zu Gauß'schem Wellenpaket im harmon. Potential

c) gequetschte Zustände (squeezed states)

Klasse von Zuständen mit minimaler Unschärfe

$$\Delta \hat{q}_r \Delta \hat{p}_r = \frac{\hbar}{2}$$

$$\hat{q}_r = \sqrt{\frac{\hbar}{2m\omega_r}} (\hat{a}_r + \hat{a}_r^\dagger)$$

$$\hat{p}_r = i \sqrt{\frac{\hbar m \omega_r}{2}} (\hat{a}_r - \hat{a}_r^\dagger)$$

$$\Delta \hat{q} = \sqrt{\langle \hat{q}^2 \rangle - \langle \hat{q} \rangle^2}$$

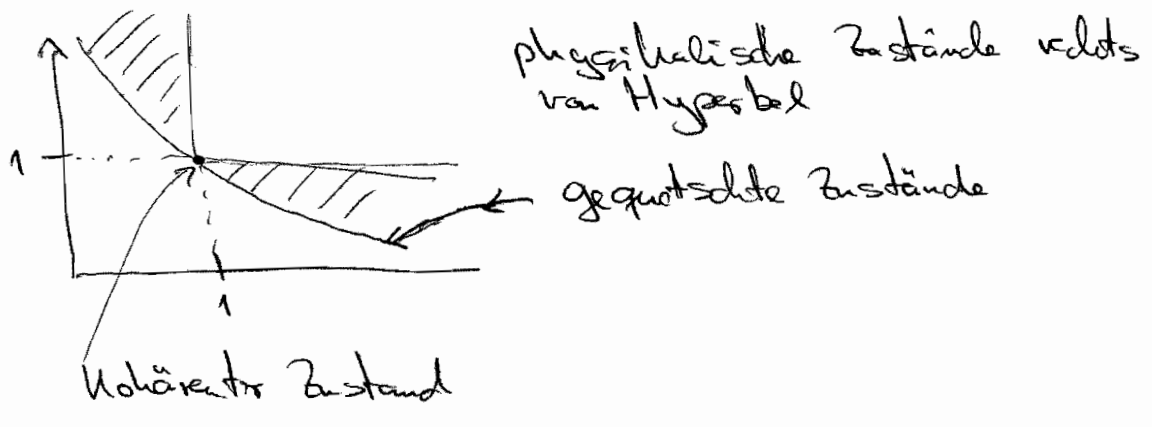
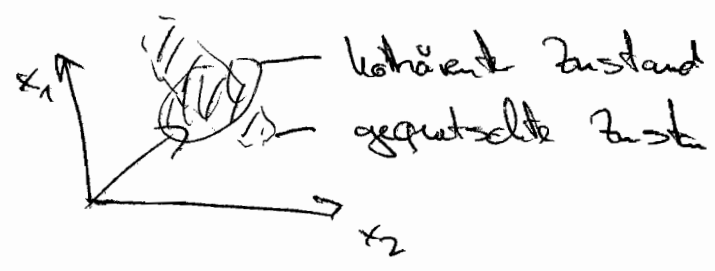
$$\hat{A}_r = \sqrt{\frac{\hbar}{2m\omega_r L^2}} \hat{a}_r$$

$$\hat{A}_r = \hat{A}_{q_r} + i \hat{A}_{p_r}$$

$$\hat{a} = \frac{1}{2} (\hat{x}_1 + i \hat{x}_2) \quad [\hat{x}_1, \hat{x}_2]_- = 2i \quad \Delta x_1 \Delta x_2 \geq 1$$

→ min. Unschärfe $\Delta x_1 \Delta x_2 = 1$

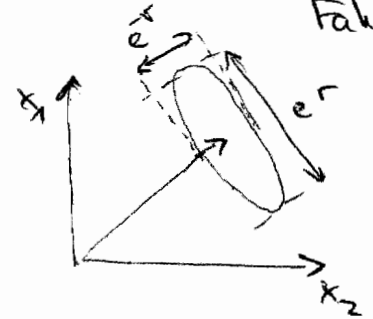
Kohärenter Zustand $\Delta x_1 = \Delta x_2 = 1$



Querschnitt - Operator $\hat{S}(\varepsilon) = e^{\frac{1}{2}\varepsilon^* \hat{a}^2 - \frac{1}{2}\varepsilon \hat{a}^{\dagger 2}}$

$$\varepsilon = r \cdot e^{i\phi}$$

$r = |\varepsilon|$ Querschnitt-Faktor



$$\hat{S}^\dagger(\varepsilon) = \hat{S}^{-1}(\varepsilon) = \hat{S}(-\varepsilon)$$

$$|\alpha, \varepsilon\rangle = \hat{D}(\alpha) \hat{S}(\varepsilon) |0\rangle$$

$$\langle \alpha, \varepsilon | \hat{a} | \alpha, \varepsilon \rangle = |\alpha|^2 + \sin^2 kr$$

Wignerfunktion

Dichte - Op. des Feldes $\hat{\rho} = \sum P(n_k) |n_k\rangle \langle n_k|$ Fock-Zustand
 $= |\alpha\rangle \langle \alpha|$ kohärenter Zustand

charakteristische Fkt. des Dichte - operators

$$\chi(\eta) = \text{Tr} \left[\hat{\rho} e^{\eta \hat{a}^\dagger - \eta^* \hat{a}} \right] \quad \text{bestimmt } \hat{\rho} \text{ eindeutig}$$

$$W(\alpha) = \frac{1}{\pi^2} \int e^{\eta^* \alpha - \eta \alpha^*} \chi(\eta) d^2 \eta$$

Wigner Fkt = Fouriertransformierte der char. Fkt. $\chi(\eta)$

$$\int d^2 \alpha W(\alpha) = 1$$

$$\hat{a} = \frac{1}{2}(\hat{x}_1 + i \hat{x}_2) \quad \hat{x}_i |x_i\rangle = x_i |x_i\rangle$$

$$W(x_1, x_2) = \frac{1}{4} W(\alpha) \Big|_{\alpha = \frac{1}{2}(x_1 + i x_2)}$$

a) kohärenter Zustand

$$W(x_1', x_2') = \frac{1}{2\pi} \exp \left[-\frac{1}{2} \left((x_1' - x_1)^2 + (x_2' - x_2)^2 \right) \right]$$

b) gegauerteter Zustand

$$W(x_1', x_2') = \frac{1}{2\pi} \exp \left[-\frac{1}{2} \left((x_1' - x_1)^2 e^{2r} + (x_2' - x_2)^2 e^{-2r} \right) \right]$$

c) Fockzustand $|n\rangle$

$$W(x_1, x_2) = \frac{2}{\pi} (-1)^n L_n(4r^2) e^{-2r^2} \quad r^2 = x_1^2 + x_2^2$$

L_n : Laguerre-Polynom

Es existieren weitere Verteilungsfunktionen, die der Darstellung des elektromagnetischen Feldes dienen, z.B. P-, Q-Representation

5.3 Wechselwirkung eines Atoms mit dem quantisierten Feld: Jaynes-Cummings-Modell

$$\hat{H} = \hat{H}_A + \hat{H}_R + \hat{H}_I$$

\uparrow radiation \uparrow interaction

$$\hat{H}_A = \sum_j E_j \hat{b}_j^\dagger \hat{b}_j \quad \hat{b}_j^\dagger, \hat{b}_j \text{ fermionische op.}$$

$$\hat{H}_R = \sum_k \hbar \omega_k \hat{a}_k^\dagger \hat{a}_k \quad \hat{a}_k^\dagger, \hat{a}_k \text{ bosonische op.}$$

$$\hat{H}_I = \hat{H}_{DE} + \hat{H}_{DA} + \hat{H}_{RA} + \hat{H}_{DA}$$

$$\hat{H}_{DE} = e \hat{D} \hat{E}(\vec{r}) \quad \lambda \gg a_0 \quad \text{Dipol-Näherung}$$

$$\hat{E}(\vec{r}) \approx \hat{E}(0)$$

$$\begin{aligned} \hat{D} &= \sum_{i,j} \vec{D}_{ij} |i\rangle \langle j| \\ &= \sum_{i,j} \vec{D}_{ij} \hat{b}_j^\dagger \hat{b}_i \end{aligned}$$

$$\begin{aligned} \hat{\Pi}(\vec{r}) &= -i \sum_{\vec{k}} \omega_k \hat{A}_{\vec{k}}(t) \vec{\epsilon}_{\vec{k}} e^{i\vec{k}\vec{r}} + \text{c.c.} \\ &= -i \sum_{\vec{k}} \underbrace{\sqrt{\frac{\hbar \omega_k}{2\epsilon_0 V}}}_{E_{\vec{k}}} \underbrace{\epsilon_{\vec{k}} e^{i\vec{k}\vec{r}}}_{\approx 1} \hat{a}_{\vec{k}} + \text{c.c.} \\ &\quad \text{in Dipolnäherung} \end{aligned}$$

$$\hat{H}_{\text{I}} \approx \hat{H}_{\text{DE}} = \hbar \sum_{\vec{k}; j} g_{\vec{k}; j} (\hat{a}_{\vec{k}} + \hat{a}_{\vec{k}}^{\dagger}) \hat{b}_j^{\dagger} \hat{b}_j$$

$$g_{\vec{k}; j} = -i \sqrt{\frac{\omega_k^2}{2\hbar \epsilon_0 V}} \vec{\epsilon}_{\vec{k}} \cdot \vec{D}_{ij} \cdot \underbrace{(e^{i\vec{k}\vec{r}_0})}_{\substack{\text{falls Koordinatensystem} \\ \text{verschiebe}}}$$

Wechselwirkungskonstante

11.2.09

Im Wechselwirkungsbild:

$$\tilde{\hat{H}}_{\text{I}}(t) = \hbar \sum_{\vec{k}; j} g_{\vec{k}; j} (\hat{a}_{\vec{k}} e^{-i\omega_k t} + \hat{a}_{\vec{k}}^{\dagger} e^{+i\omega_k t}) \hat{b}_i^{\dagger} \hat{b}_j e^{i\omega_j t}$$

Rotating wave approximation

$\omega_k \approx \omega_j \rightarrow$ vernachlässigen Terme, die mit $\omega_k + \omega_j$ oszillieren

$$\rightarrow \tilde{\hat{H}}_{\text{I}}(t) \approx \hbar \sum_{\vec{k}; j} g_{\vec{k}; j} \hat{a}_{\vec{k}} \hat{b}_i^{\dagger} \hat{b}_j e^{-i(\omega_k - \omega_j)t} + \text{c.c.}$$

Annahme: nur 2 Niveaus mit nahresonanten Übergang

$$\omega_a = \omega_{21}$$

$$\hat{\sigma}^+ = \hat{b}_2^+ \hat{b}_1 \quad \sigma^- = \hat{b}_1^+ \hat{b}_2 \quad \sigma_z = \hat{b}_2^+ \hat{b}_2 - \hat{b}_1^+ \hat{b}_1$$

$$\rightarrow \hat{H} = \underbrace{\frac{1}{2} \hbar \omega_a \hat{\sigma}_z}_{\hat{H}_H} + \underbrace{\sum_k \hbar \omega_k \hat{a}_k^+ \hat{a}_k}_{\hat{H}_E} + \hbar \sum_k (g_k \hat{a}_k \hat{\sigma}^+ + g_k^* \hat{a}_k^+ \hat{\sigma}^-)$$

Annahme: high finesse cavity \rightarrow nur 1 Feldmode ω_0

$$\hat{H} = \frac{1}{2} \hbar \omega_a \hat{\sigma}_z + \hbar \omega_0 \hat{a}^+ \hat{a} + \hbar (g \hat{a} \hat{\sigma}^+ + g^* \hat{a}^+ \hat{\sigma}^-)$$

Jaynes - Cummings - Modell

Lösung des Jaynes - Cumming - Modells

(A) $g = 0 \quad \hat{H}^{(0)} = \frac{1}{2} \hbar \omega_a \hat{\sigma}_z + \hbar \omega_0 \hat{a}^+ \hat{a}$

Eigenzustände: $\{ |g, n\rangle, |e, n\rangle \} ; |g, n\rangle = |g\rangle \otimes |n\rangle$

$$\hat{H}^{(0)} |g, n\rangle = \hbar \omega_a (n + \frac{1}{2}) |g, n\rangle$$

$$\hat{H}^{(0)} |e, n\rangle = [\hbar \omega_a + \hbar \omega_0 (n + \frac{1}{2})] |e, n\rangle$$

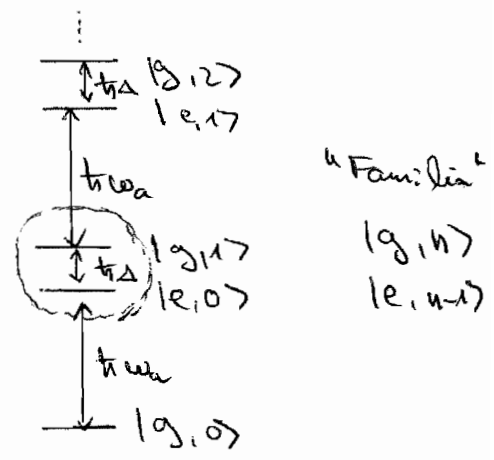
$$\Delta = \omega_a - \omega_0$$

\rightarrow Eigenwerte $E_{g,n} = \hbar \omega_a (n + \frac{1}{2})$

$$E_{e,n} = \hbar \omega_0 (n + 1 + \frac{1}{2}) - \hbar \Delta$$

$$\rightarrow E_{g,n} - E_{e,n-1} = \hbar \Delta$$

$$E_{e,n} - E_{g,n} = \hbar \omega_a$$



$$(B) \quad g \neq 0 \quad g = -\sqrt{\frac{\hbar \omega}{2\epsilon_0 V}} \mu \vec{E}$$

$$\tilde{H}_I = \hbar g (\hat{a} \hat{\sigma}^+ + \hat{a}^+ \hat{\sigma}^-)$$

→ Kopplung nur innerhalb von Familien

$$\hat{\sigma}^+ |g\rangle = e \quad \hat{\sigma}^- |e\rangle = g$$

$$\hat{a} |n\rangle = \sqrt{n} |n-1\rangle$$

$$\hat{a}^+ |n\rangle = \sqrt{n+1} |n+1\rangle$$

$$\begin{aligned} \langle e, n-1 | \tilde{H}_I | g, n \rangle \\ = \langle g, n | \tilde{H}_I | e, n-1 \rangle \\ = g \sqrt{n} \end{aligned}$$

$$\text{Rabi-Frequenz } \Omega_n = \frac{2}{\hbar} g \sqrt{n}$$

$$\hat{H} = \begin{pmatrix} E_{g,0} & 0 & 0 & 0 \\ 0 & \hat{H}_u & 0 & 0 \\ 0 & 0 & \hat{H}_l & 0 \\ 0 & 0 & 0 & \hat{H}_n \end{pmatrix}$$

block-diagonal

→ Eigenzustände:

$$|1, n\rangle = \sin \vartheta_n |g, n\rangle + \cos \vartheta_n |e, n-1\rangle$$

$$|2, n\rangle = \cos \vartheta_n |g, n\rangle - \sin \vartheta_n |e, n-1\rangle$$

$$\tan 2\vartheta_n = \frac{\Omega_n}{\Delta}$$

Eigenwerte:

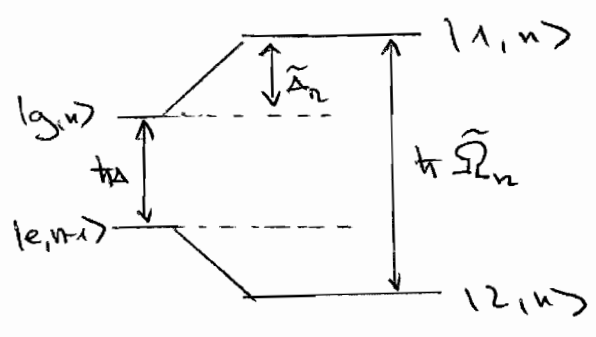
$$E_{1,n} = \frac{1}{2} (E_{g,n} + E_{e,n-1} + \hbar \tilde{\Omega}_n) = E_{g,n} + \tilde{\Delta}_n$$

$$\tilde{\Delta}_n = \frac{\hbar}{2} (\tilde{\Omega}_n - \Delta)$$

$$\tilde{\Omega}_n = \sqrt{\Delta^2 + \Omega_n^2}$$

$$E_{2,n} = \frac{1}{2} (\quad \quad \quad - \hbar \tilde{\Omega}_n) = E_{g,n} - \tilde{\Delta}_n$$

$$\rightarrow E_{1,n} - E_{n,2} = \hbar \tilde{\Omega}_n$$



Rabi - Oszillationen

$$i\hbar \frac{\partial}{\partial t} |\psi\rangle = \hat{H} |\psi\rangle$$

$$|\psi(t)\rangle = \sum_n \left(c_{1,n} e^{-\frac{i}{\hbar} E_{1,n} t} |1,n\rangle + c_{2,n} e^{-\frac{i}{\hbar} E_{2,n} t} |2,n\rangle \right)$$

(i) $t=0$: Atom im Grundzustand koppelt an Fock-Zustand

$$|\psi(0)\rangle = |g, n\rangle$$

$$|\psi(t)\rangle = \cos \theta_n |1, n\rangle - e^{-i\tilde{\Omega}_n t} \sin \theta_n |2, n\rangle$$

Wk, dass Atom in $|e\rangle$

$$P_e(t) = \sum_n | \langle e, n-1 | \psi(t) \rangle |^2 P_{\text{Fock}}(n)$$

$$= | \langle e, n-1 | \psi(t) \rangle |^2$$

$$= \frac{\Omega_n^2}{\tilde{\Omega}_n^2} \sin^2 \left(\frac{1}{2} \tilde{\Omega}_n t \right)$$

für $\Delta_n = 0$: $P_e(t) = \sin^2 \left(\frac{1}{2} g \sqrt{n} t \right)$

analog zu semi-klassischen Ergebnis

(ii) $t=0$: Atome in $|g\rangle$ koppelt an kohärenten Zustand

$$|a\rangle = e^{-\frac{|\alpha|^2}{2}} \sum_{n=0}^{\infty} \frac{\alpha^n}{\sqrt{n!}} |n\rangle$$

$$P_{\text{coh}}(n) = \frac{1}{n!} |\alpha|^{2n} e^{-|\alpha|^2} \quad \langle n \rangle = |\alpha|^2$$

$$P_e(t) = \sum_n |\langle e, n-1 | \psi(t) \rangle|^2 P_{\text{coh}}(n)$$

$$= e^{-|\alpha|^2} \sum_n \frac{|\alpha|^{2n}}{n!} \frac{\Omega_n^2}{\tilde{\Omega}_n^2} \sin^2\left(\frac{1}{2} \tilde{\Omega}_n t\right)$$

$$\text{für } \Delta_n = 0: P_e(t) = e^{-|\alpha|^2} \sum_n \frac{|\alpha|^{2n}}{n!} \sin^2\left(\frac{1}{T} g \sqrt{n+1} t\right)$$

diskrete Superposition harm. Oszillatoren mit inkommensurablen Frequenzen

→ quasi-per. Verhalten: collapse u. Revival!

(iii) $t=0$: Atom in g koppelt an thermischen Zustand

$$P_{\text{th}} = \frac{\langle n \rangle^n}{(1 + \langle n \rangle)^{n+1}} \quad \text{Planck-Verteilung}$$

$$P_e(t) = \sum_n \frac{\langle n \rangle^n}{(1 + \langle n \rangle)^{n+1}} \frac{\Omega_n^2}{\tilde{\Omega}_n^2} \sin^2\left(\frac{1}{2} \tilde{\Omega}_n t\right)$$

Schnelle Dekohärenz sogar bei kleinem $\langle n \rangle$

(iv) $t=0$: Atom in $|e\rangle$, $|n\rangle = 0$ Vakuum-Rabi-Oszillationen

$$\text{für } \Delta = 0 \quad P_e(t) = \frac{1}{2} [1 + \cos(2g\sqrt{n+1}t)]$$

exp. beobachtet: Rydberg-Atom in supraleitender Kavität

[Rb, $n = 51 \rightarrow 50$]

Brome et al. PRL 76, 1800 (1996)

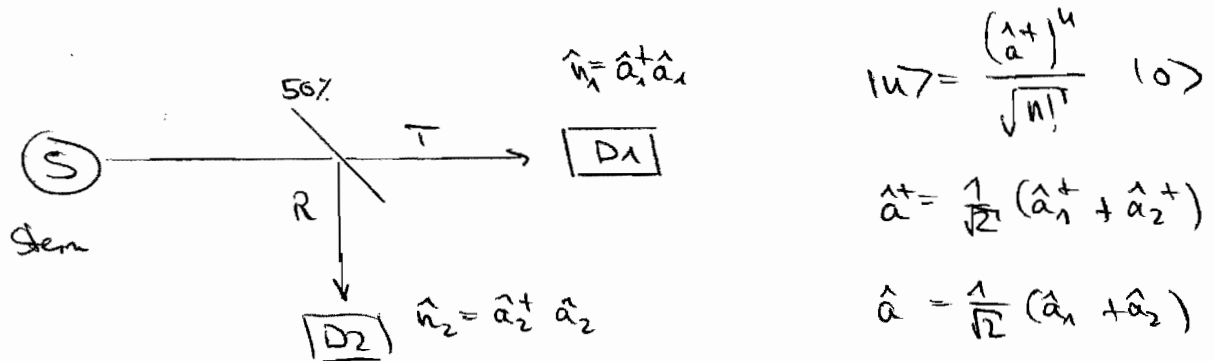
Analogie Photonen = Phononen zwei $\hat{a}^+ \hat{a}$

\rightarrow Ion in harm. Paul-Falle $\hat{=}$ Jaynes-Cummings-Modell

Exp. Be^+ in Grundzustand angeregt, sodass Fock-Zustände, gegenstandslos u. kohärente Zustände

Meekhof et al. PRL 76, 1796 (1996)

5.4 Hanbury Brown & Twiss - Effekt



$$\begin{aligned} \langle \hat{n}_1 \rangle &= \langle n | \hat{a}_1^+ \hat{a}_1 | n \rangle = \frac{1}{n!} \langle 0 | \hat{a}_1^n \hat{a}_1^+ \hat{a}_1 (\hat{a}^+)^n | 0 \rangle \\ &= \frac{1}{2} n = \langle \hat{n}_2 \rangle \end{aligned}$$

Korrelationsfkt (second order coherence)

$$g^{(2)}(\vec{r}_1, t_1, \vec{r}_2, t_2; \vec{r}_2, t_2, \vec{r}_1, t_1)$$

$$= \frac{\langle \hat{E}^-(\vec{r}_1, t_1) \hat{E}^-(\vec{r}_2, t_2) \hat{E}^+(\vec{r}_2, t_2) \hat{E}^+(\vec{r}_1, t_1) \rangle}{\langle \hat{E}^-(\vec{r}_1, t_1) \hat{E}^+(\vec{r}_1, t_1) \rangle \langle \hat{E}^-(\vec{r}_2, t_2) \hat{E}^+(\vec{r}_2, t_2) \rangle}$$

$$g^{(2)}(\tau) = \frac{\langle \hat{n}_1 \hat{n}_2 \rangle}{\langle n_1 \rangle \langle n_2 \rangle} \quad ; \quad \tau = t_2 - t_1$$

gemessen: Koinkidenzen an Detektoren 1 und 2

$$\langle (\hat{n}_1 - \langle n_1 \rangle) (\hat{n}_2 - \langle n_2 \rangle) \rangle = \langle \hat{n}_1 \hat{n}_2 \rangle - \langle \hat{n}_1 \rangle \langle \hat{n}_2 \rangle$$

$$\frac{\langle (\hat{n}_1 - \langle n_1 \rangle) (\hat{n}_2 - \langle n_2 \rangle) \rangle}{\langle \hat{n}_1 \rangle \langle \hat{n}_2 \rangle} = g^{(2)}(\tau) - 1$$

Für Fock-Zustand:

$$g^{(2)}(\tau) - 1 = - \frac{1}{\langle \hat{n} \rangle}$$

allgemein gilt $g^{(2)}(\tau) \geq 1 - \frac{1}{\langle \hat{n} \rangle}$

Für kohärenter Zustand $g^{(2)}(\tau) = 1$

Für thermischer Zustand $g^{(2)}(\tau) = \frac{\langle \hat{n}_1(\tau) \hat{n}_2(0) \rangle}{\langle \hat{n}_1 \rangle \langle \hat{n}_2 \rangle} = e^{-2\gamma\tau} + 1$

